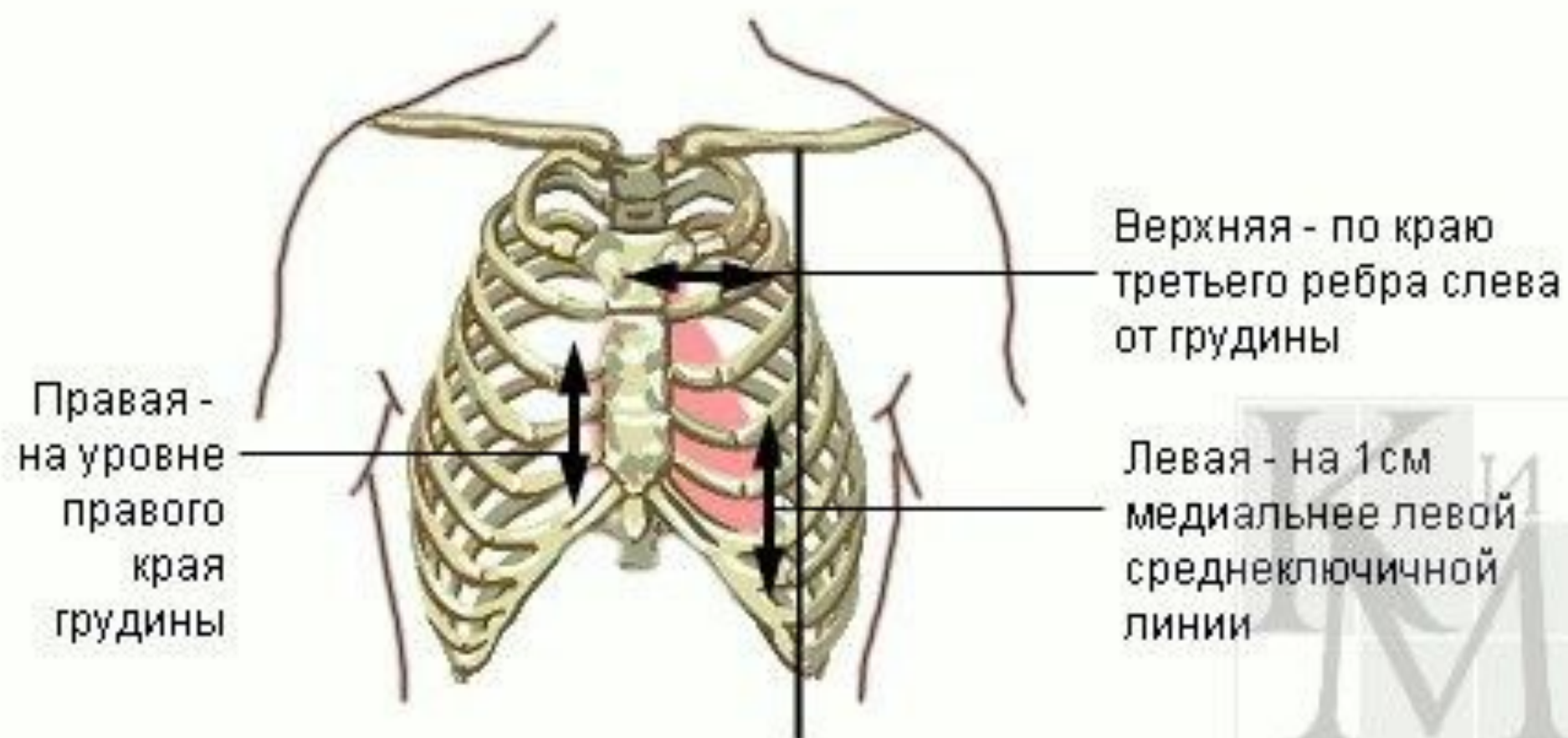


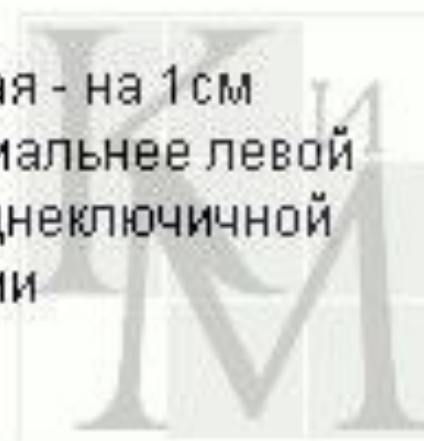
Физические проявления
деятельности сердца.
Физиологические основы
ЭКГ



Правая -
на уровне
правого
края
грудины

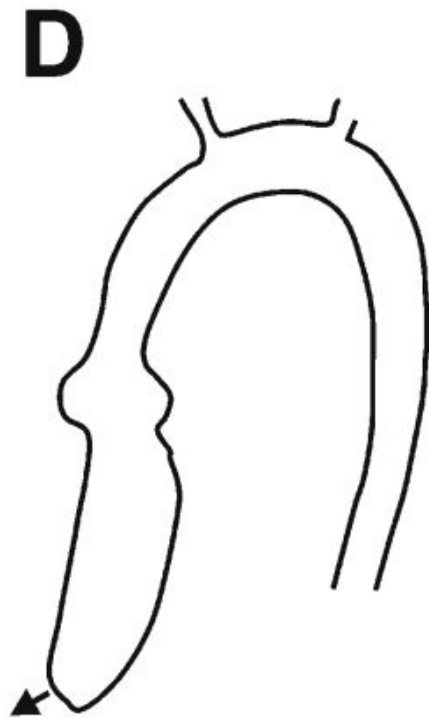
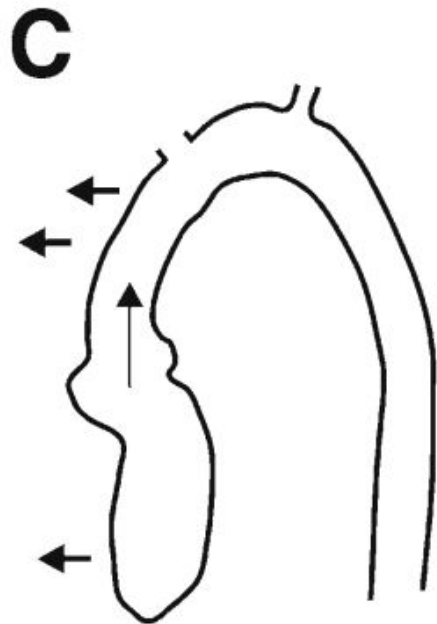
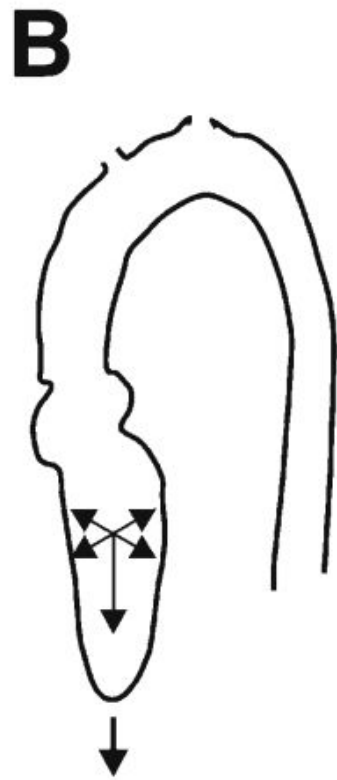
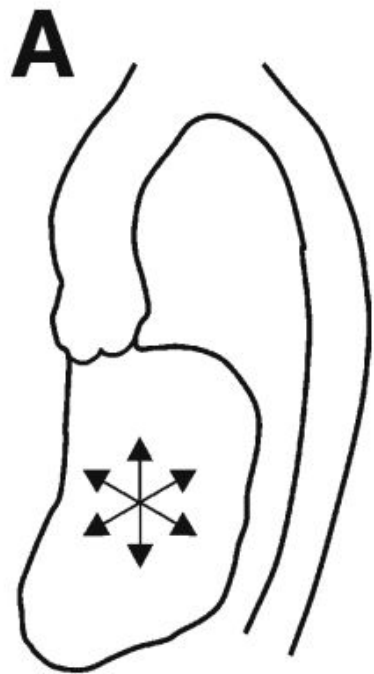
Верхняя - по краю
третьего ребра слева
от грудины

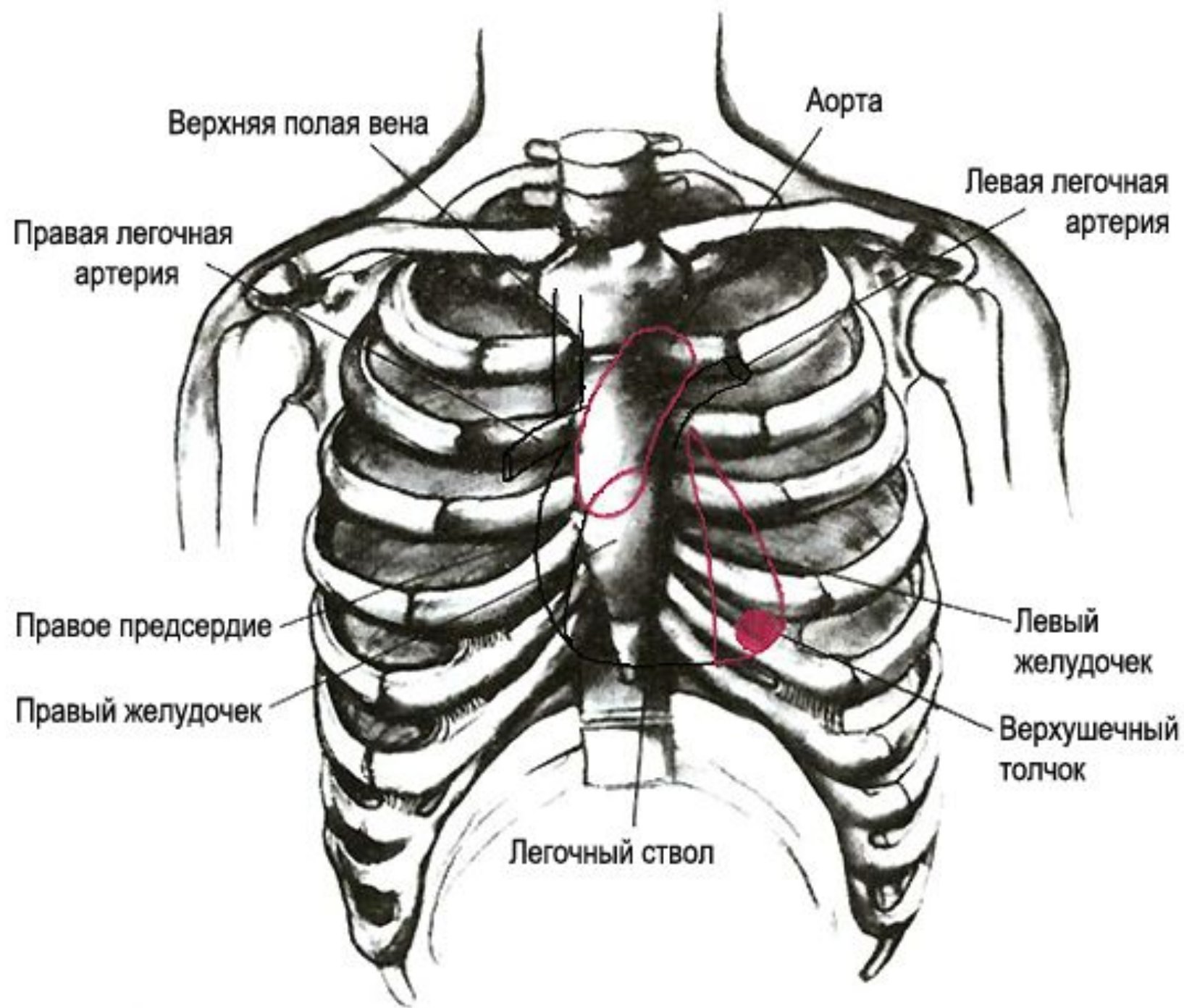
Левая - на 1 см
медиальнее левой
среднеключичной
линии



Границы относительной сердечной тупости у детей различного возраста

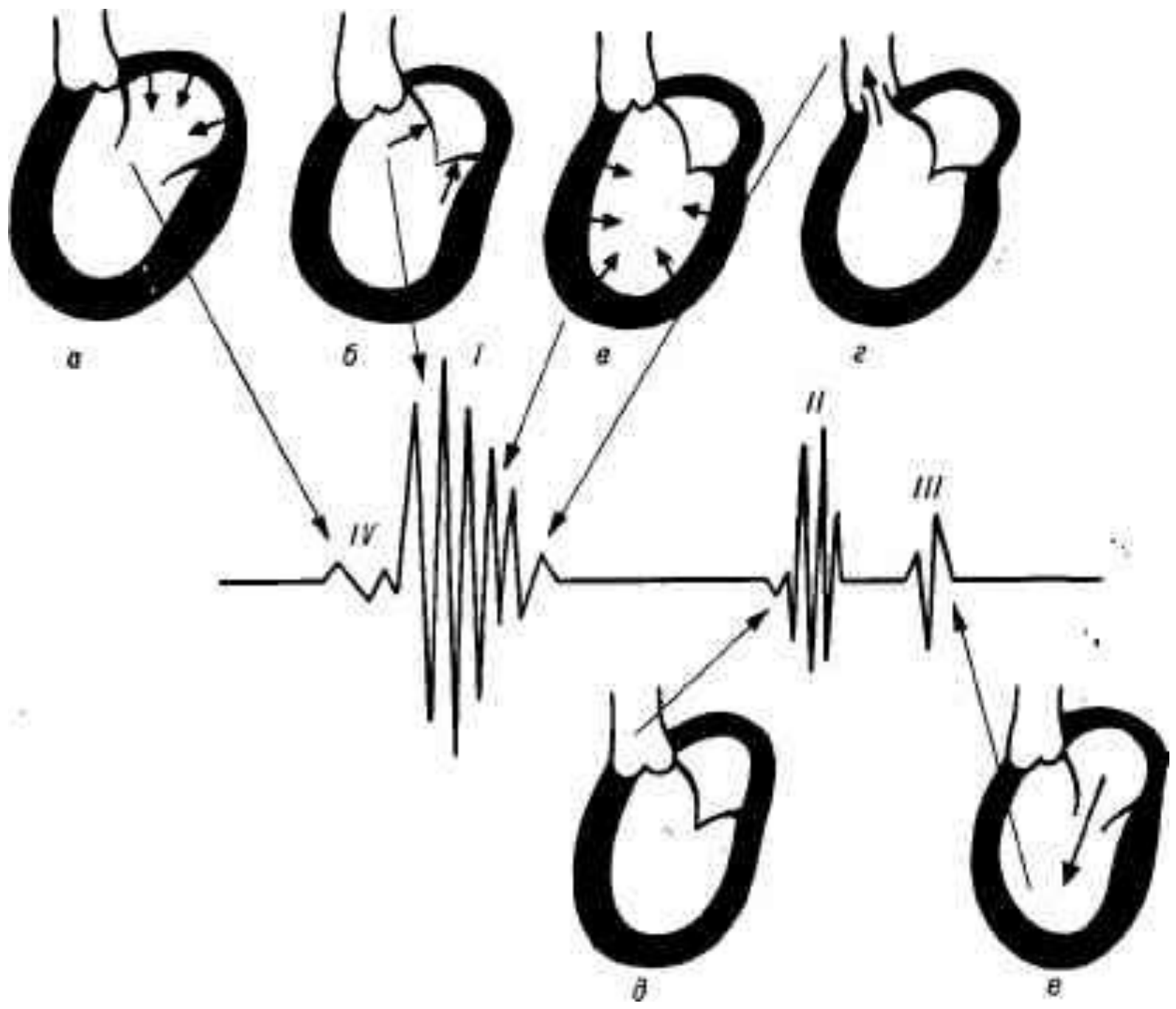
Граница	Возраст			
	До 2 лет	2-7 лет	7-12 лет	> 12 лет
Правая	Правая парастернальная линия	Кнутри от правой парастернальной линии	Середина между правой парастернальной и правой стеральной линиями	Правая стеральная линия
Верхняя	2 ребро	2 – е межреберье	3 ребро	3 ребро или 3 межреберье
Левая	На 2 см кнаружи от левой среднеключичной линии	На 1 см кнаружи от левой среднеключичной линии	По левой среднеключичной линии	Кнутри от левой среднеключичной линии



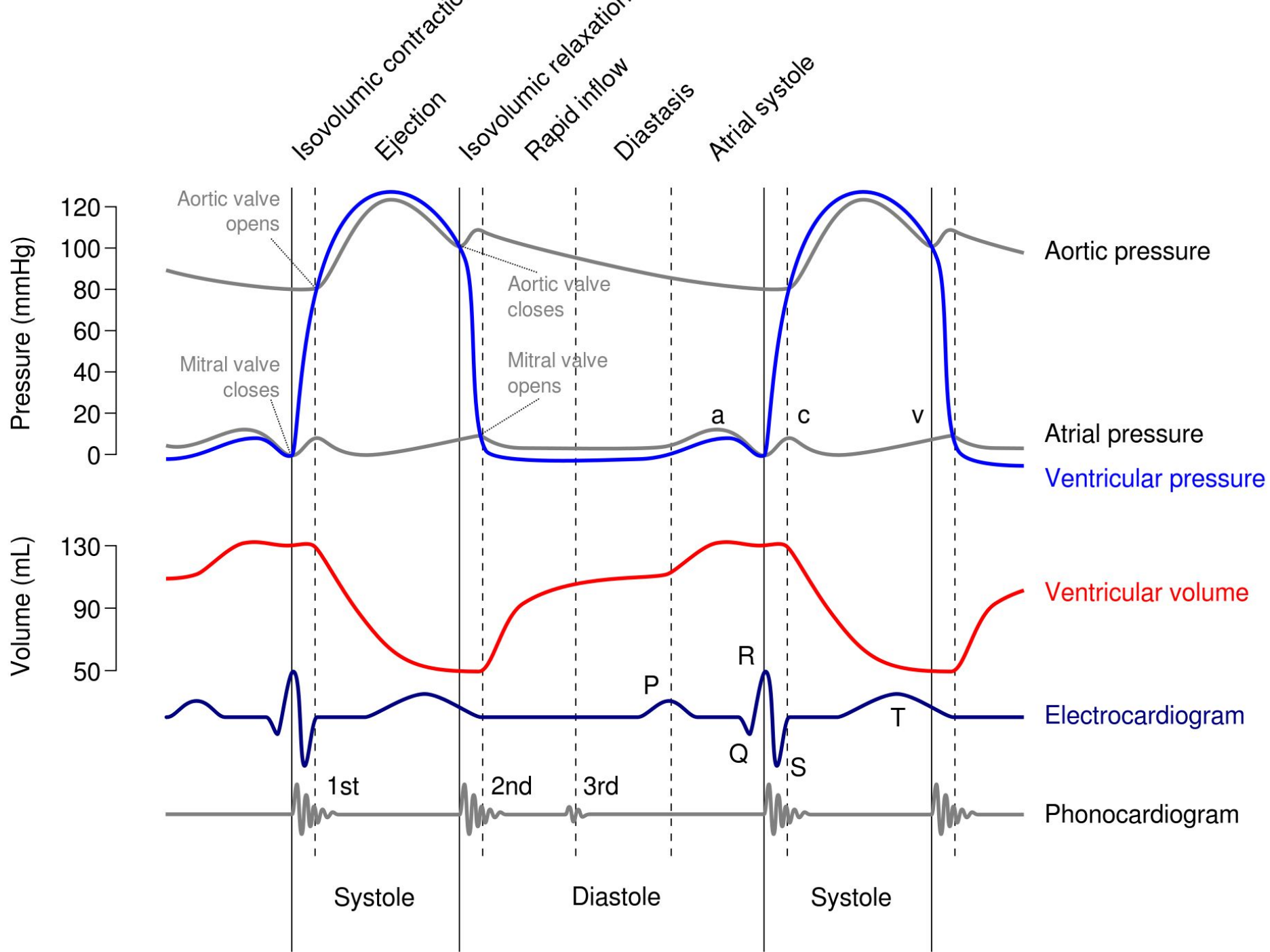


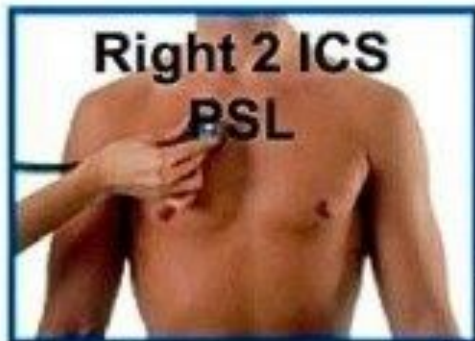
Локализация верхушечного толчка

- По горизонтальной линии: до 1,5 лет – в IV, а затем в V межреберье;
- По вертикальной линии:
 - до 2 лет – на 1-2 см кнаружи от левой средне-ключичной линии,
 - от 2 до 7 лет – на 1 см кнаружи от нее,
 - от 7 до 12 лет – по средне-ключичной линии
 - старше 12 лет – на 0,5 см кнутри от ЛСК линии



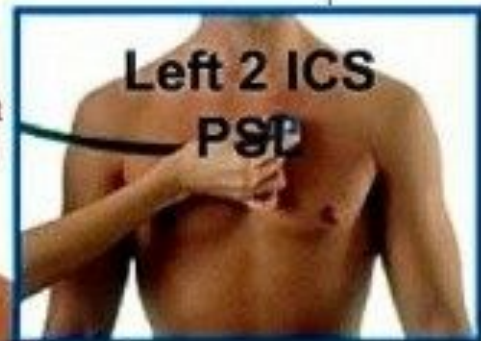
Место лучшего выслушивания	Верхушка	Основание	Верхушка или ближе к груди	Верхушка
Отношение к сердечным фазам	Возникает в начале систолы после большой аускультативной паузы – после диастолы	Возникает в начале диастолы после малой аускультативной паузы – после систолы	Возникает в начале диастолы вскоре после II тона	Возникает в конце диастолы перед I тоном
Продолжительность	0,09–0,12 с	0,05–0,07 с	0,03–0,06 с	0,03–0,10 с
Частотная характеристика	30–120 Гц	70–150 Гц	10–70 Гц	70–100 Гц
Аускультативная характеристика	Громкий, низкий, продолжительный, более громкий на верхушке	Громкий, высокий, короткий, более громкий на основании	Тихий, глухой, низкий, короткий	Тихий, глухой, низкий, короткий





**Right 2 ICS
BSL**

Auscultation position
for aortic valve



**Left 2 ICS
PSL**

Auscultation position
for pulmonary valve



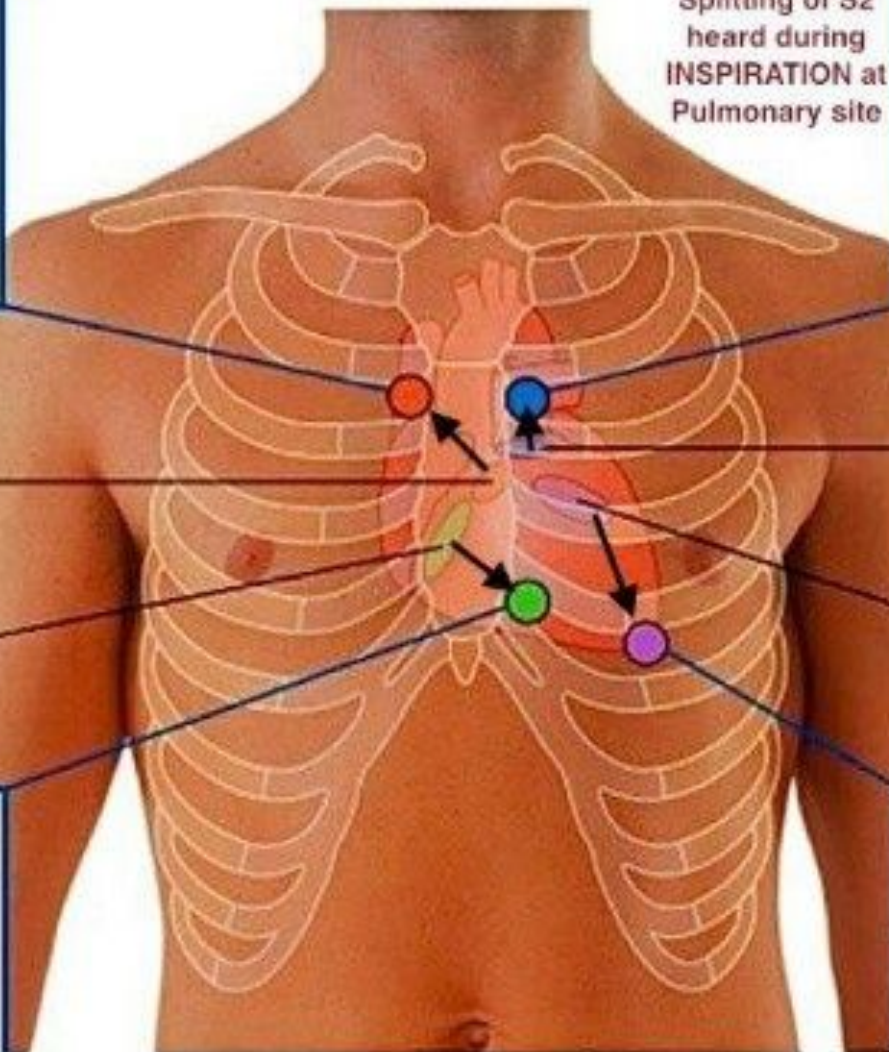
**Left 4 ICS
PSL**

Auscultation position
for tricuspid valve



**Left 5 ICS
MCL**

Auscultation position
for mitral valve



Splitting of S2
heard during
INSPIRATION at
Pulmonary site

Aortic valve

Pulmonary valve

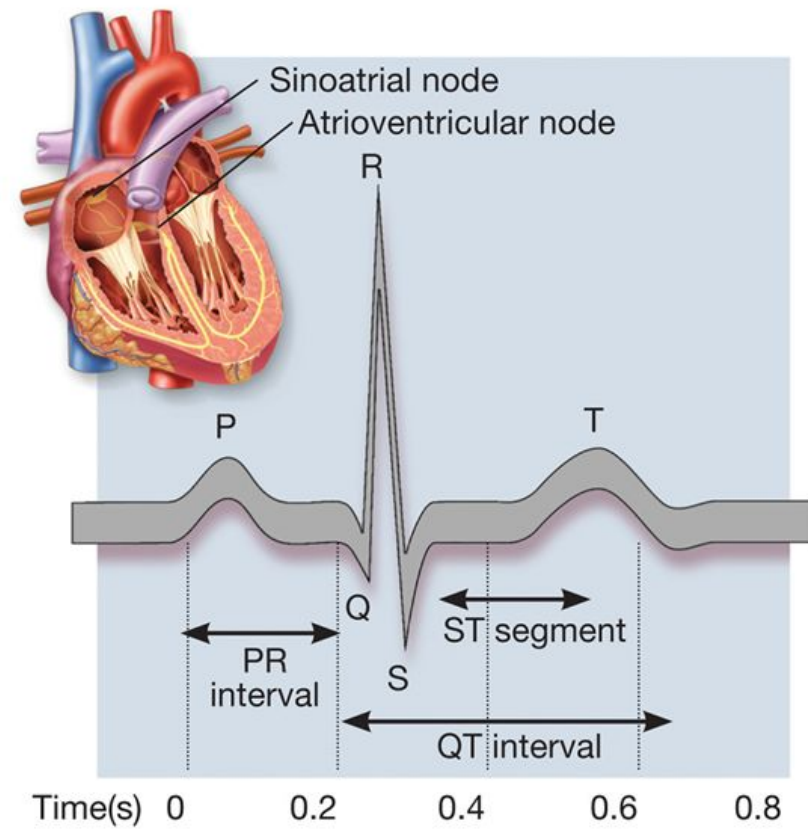
Tricuspid valve

Mitral valve

Mitral site best
for auscultation
of S3 if present



(a)

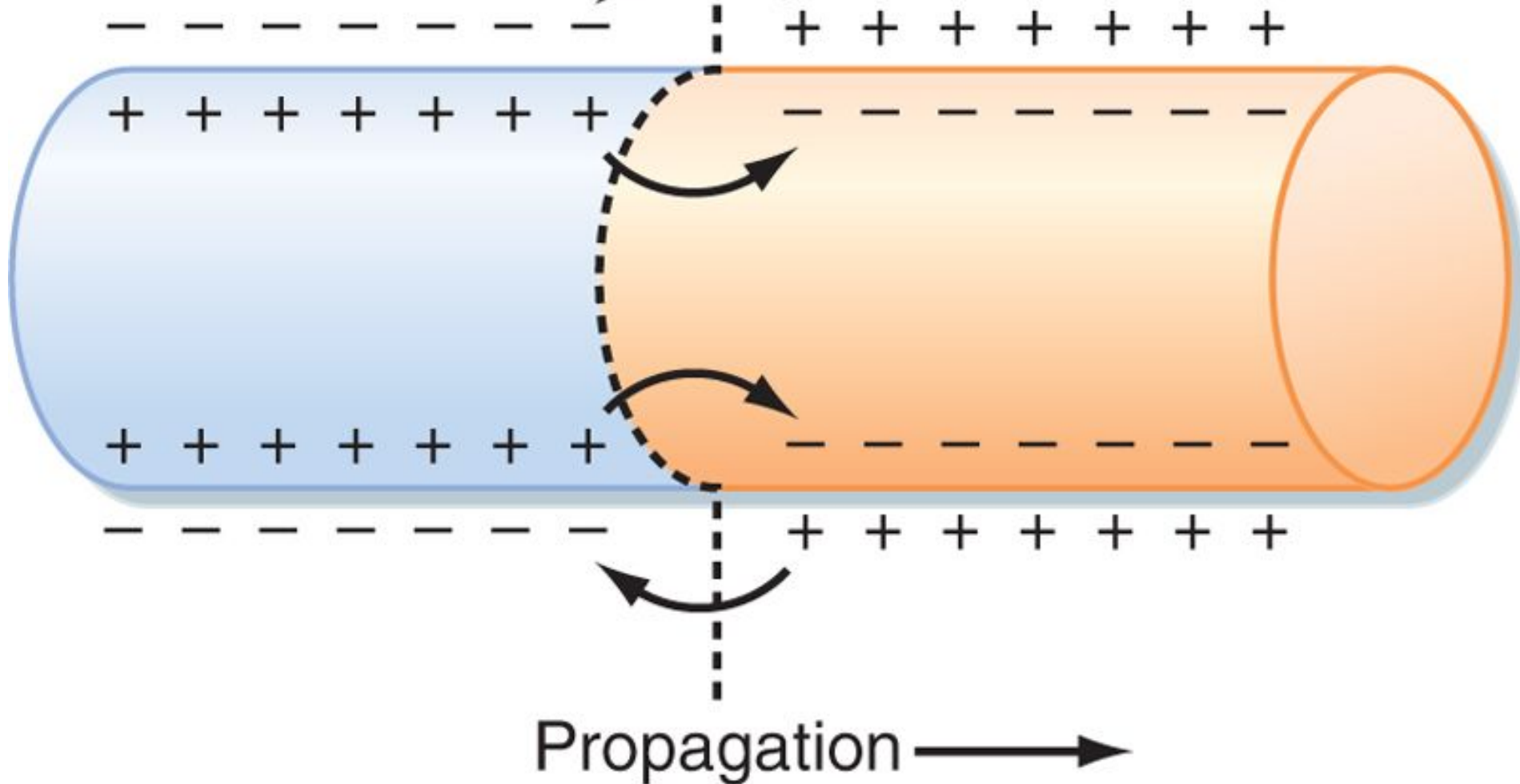


(b)

P = Atrial depolarization
QRS = Ventricular depolarization
T = Repolarization

Depolarized
zone

Polarized
zone



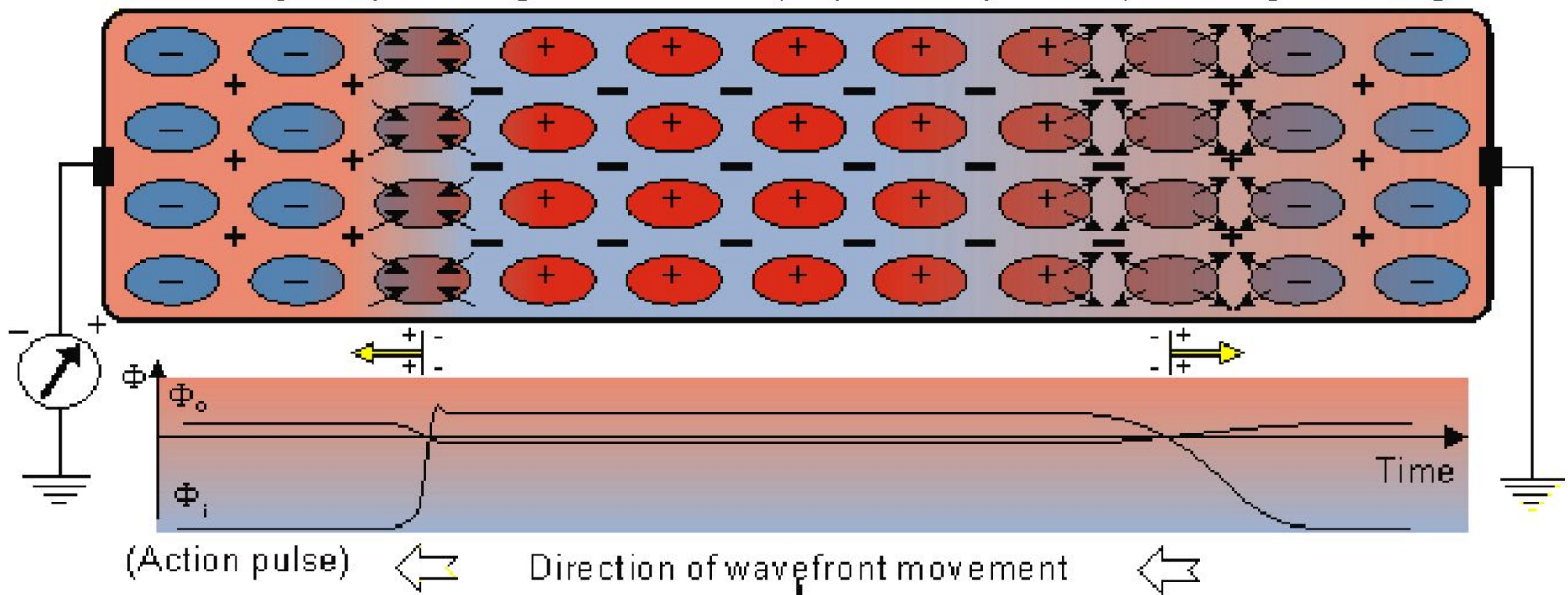
DEPOLARIZATION

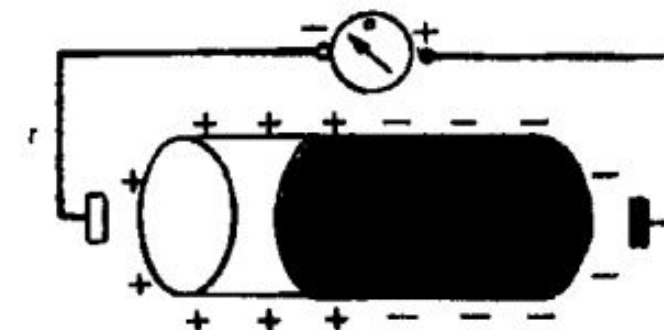
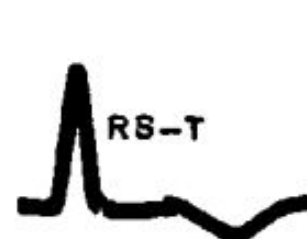
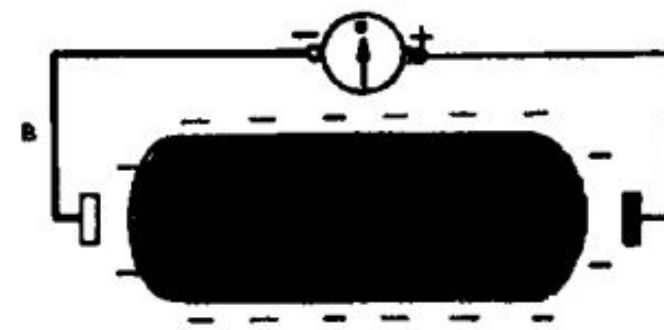
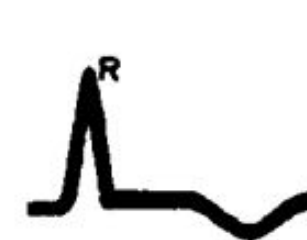
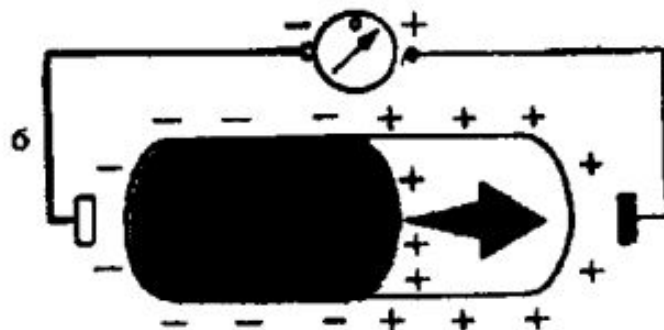
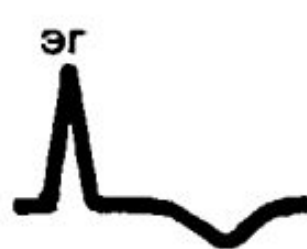
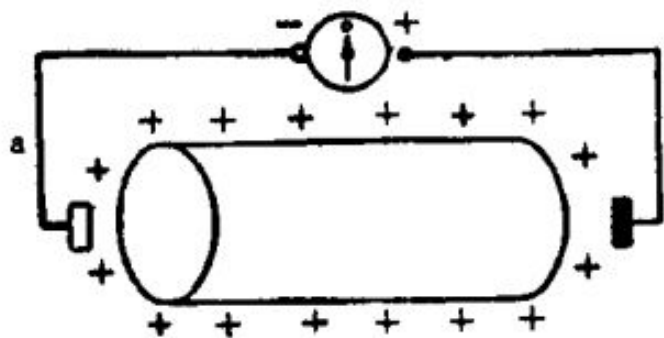
Positive ions (Na^+) flowing into the depolarizing cells make Φ_o (outside the cells) more negative.

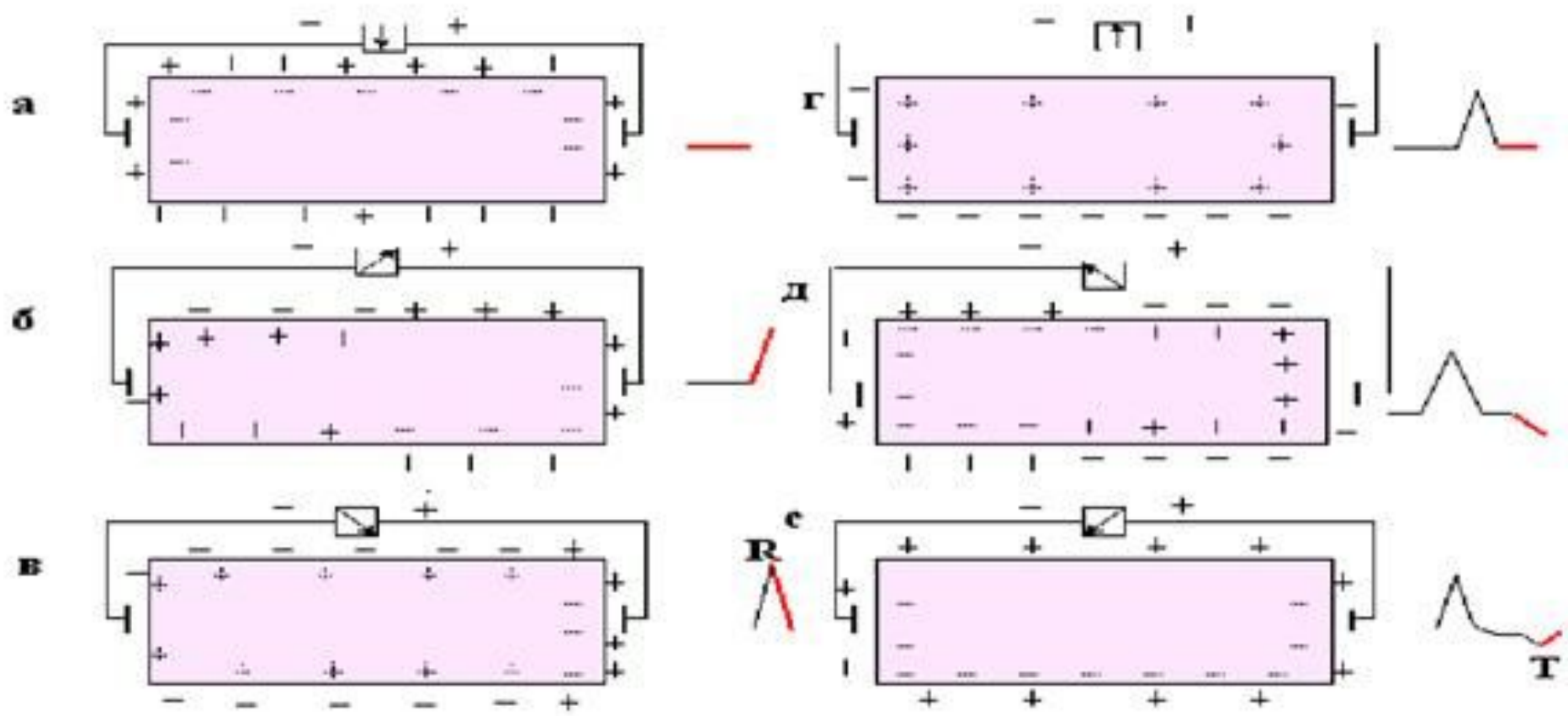
REPOLARIZATION

Positive ions (K^+) flowing out from the repolarizing cells make Φ_o (outside the cells) more positive.

Resting Depolarizing Activated (Depolarized) Repolarizing Resting

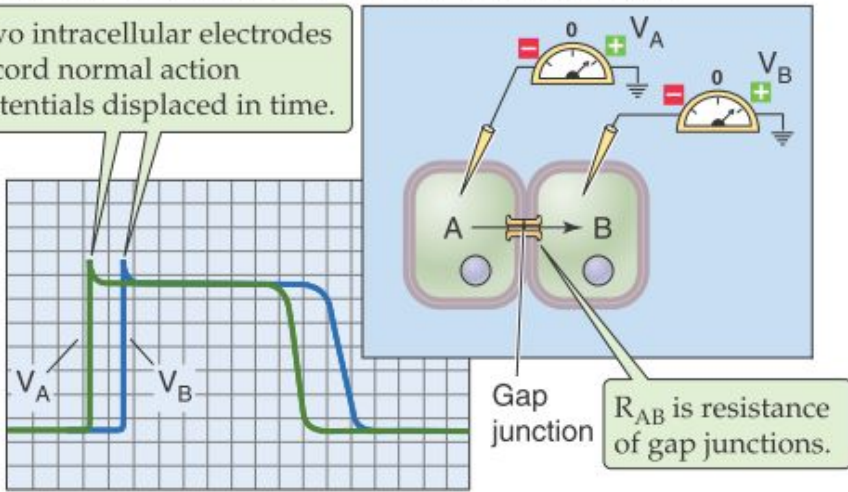






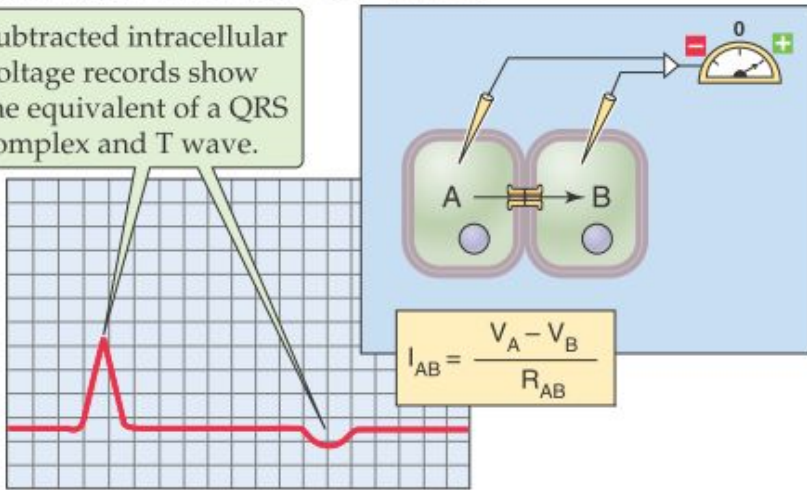
A ACTION POTENTIALS OF TWO SEPARATE CELLS

Two intracellular electrodes record normal action potentials displaced in time.



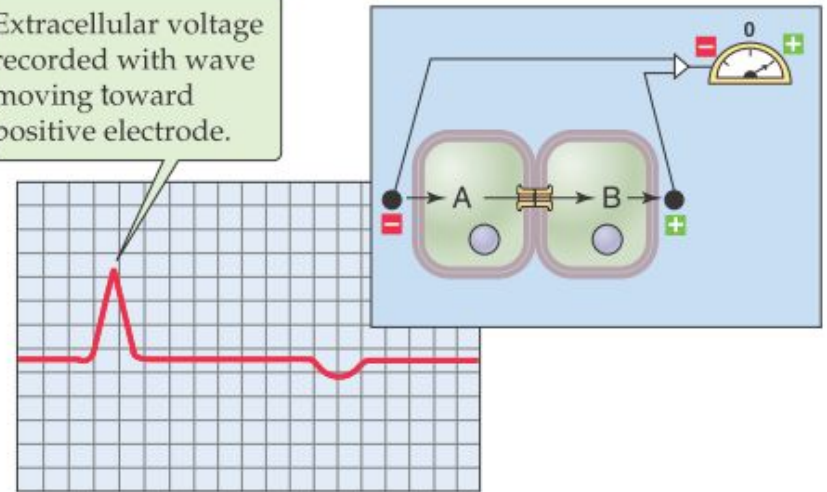
B SUBTRACTED ACTION POTENTIALS

Subtracted intracellular voltage records show the equivalent of a QRS complex and T wave.



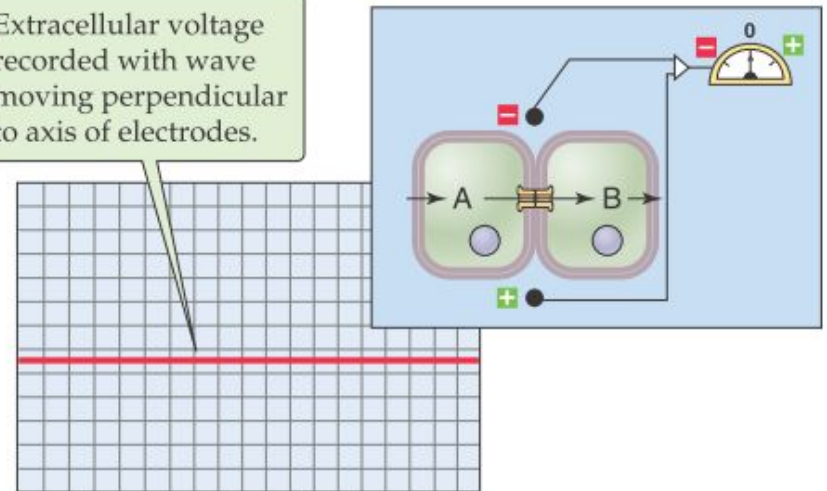
C DEPOLARIZATION MOVING TOWARD POSITIVE ELECTRODE

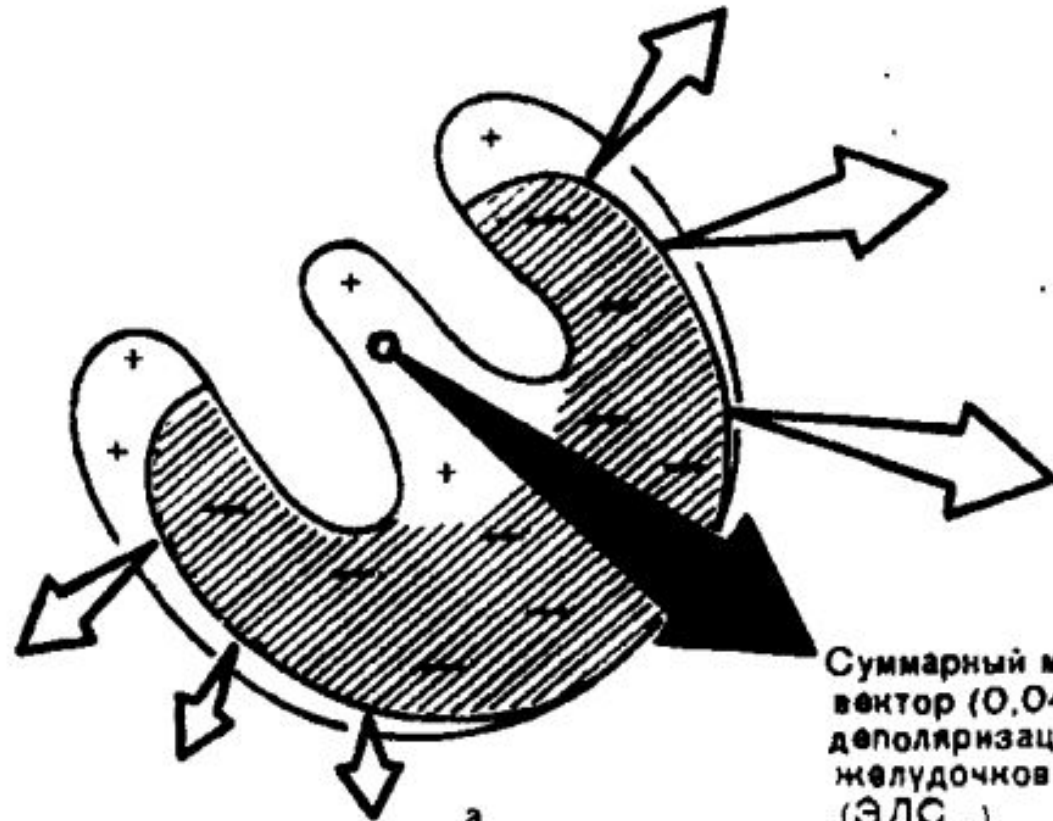
Extracellular voltage recorded with wave moving toward positive electrode.



D DEPOLARIZATION MOVING PERPENDICULAR TO ELECTRODE AXIS

Extracellular voltage recorded with wave moving perpendicular to axis of electrodes.





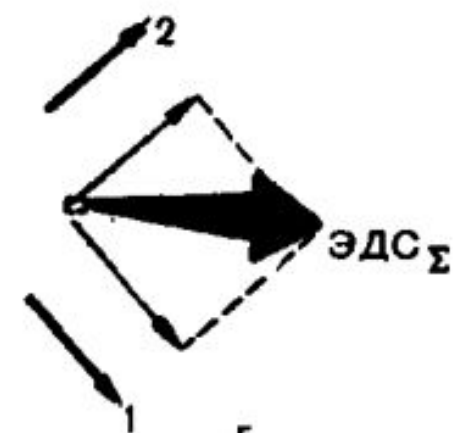
а



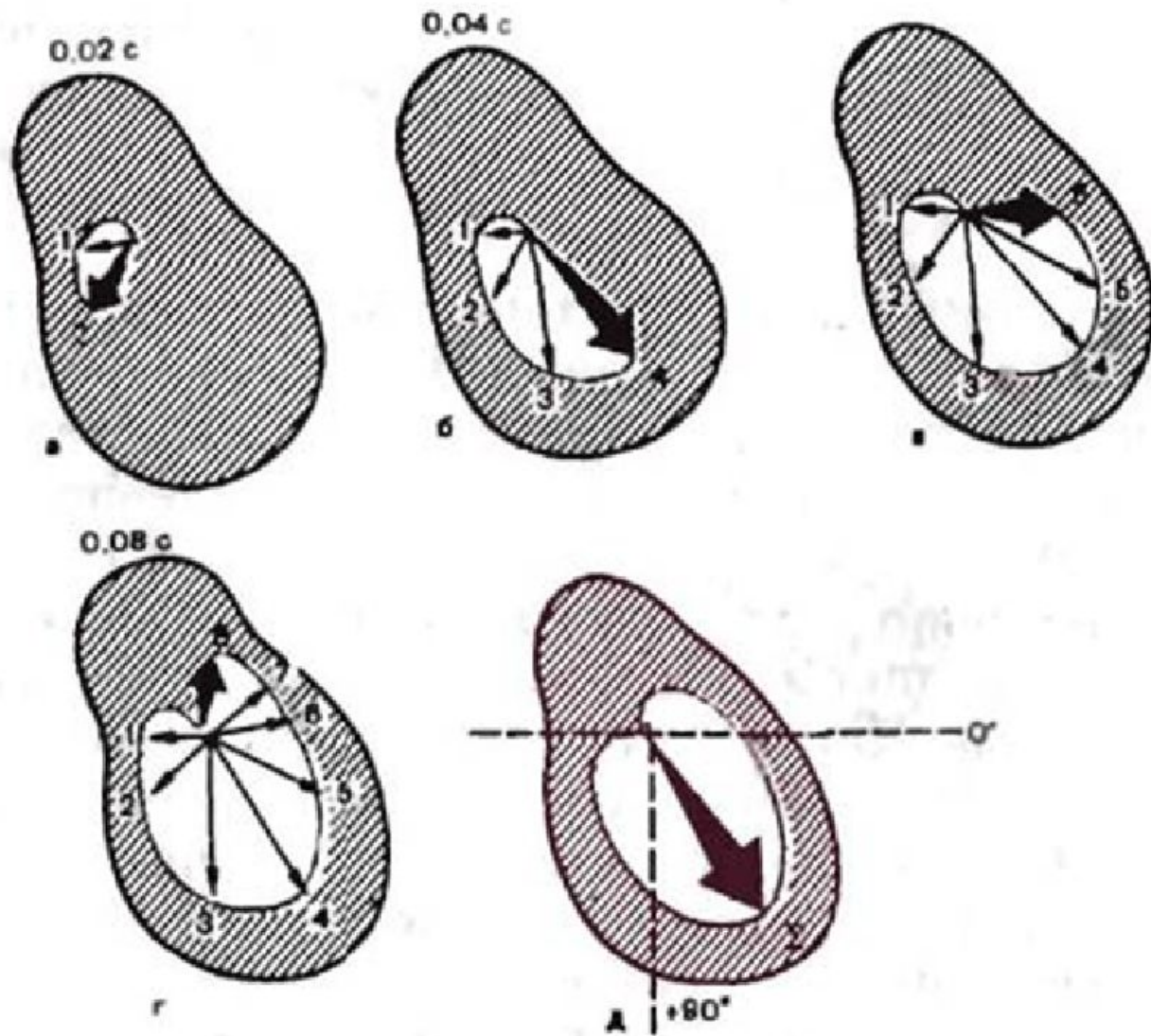
б



в

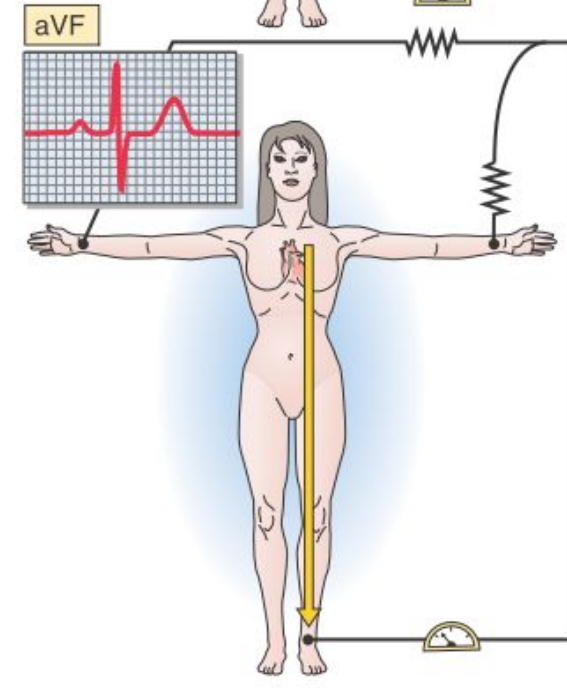
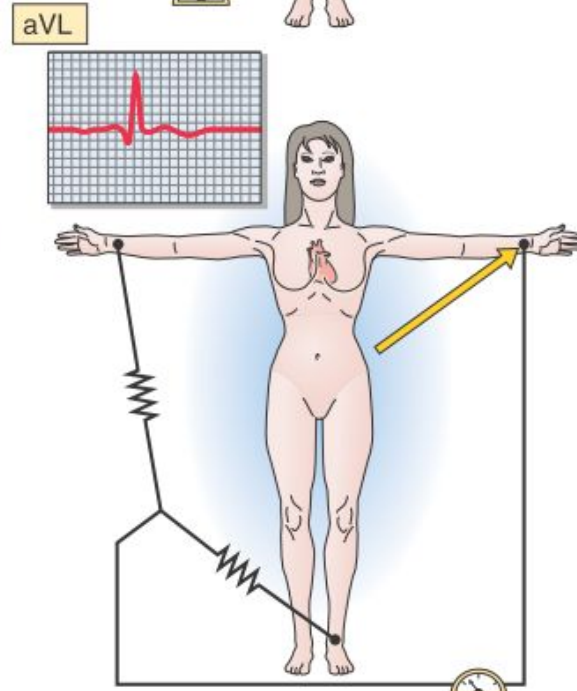
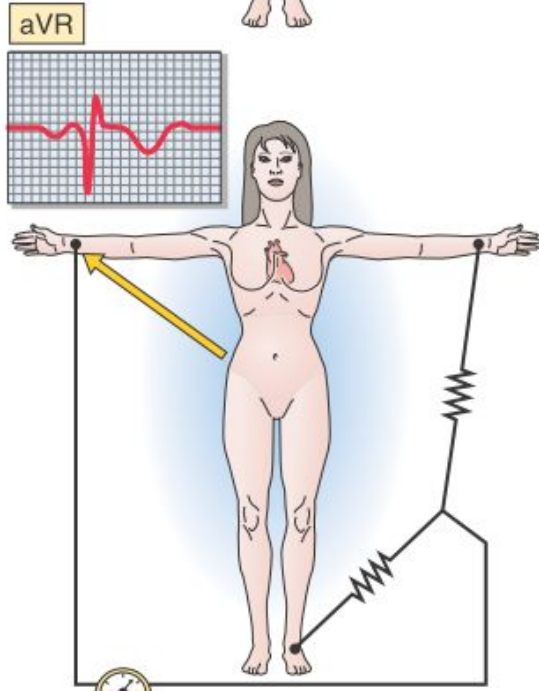
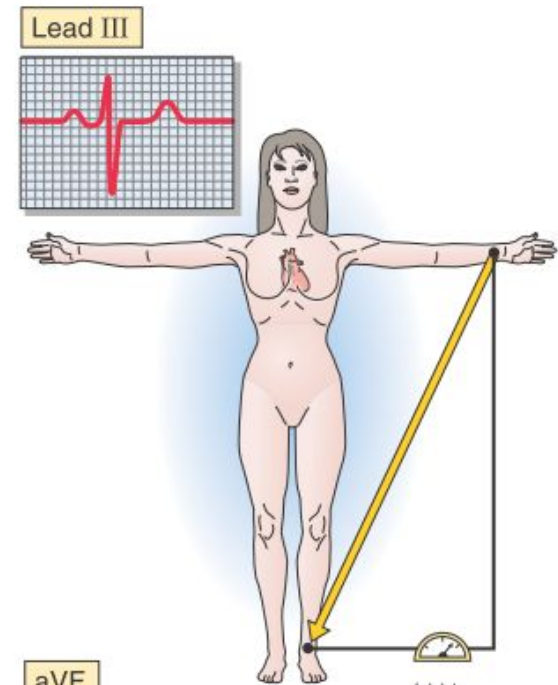
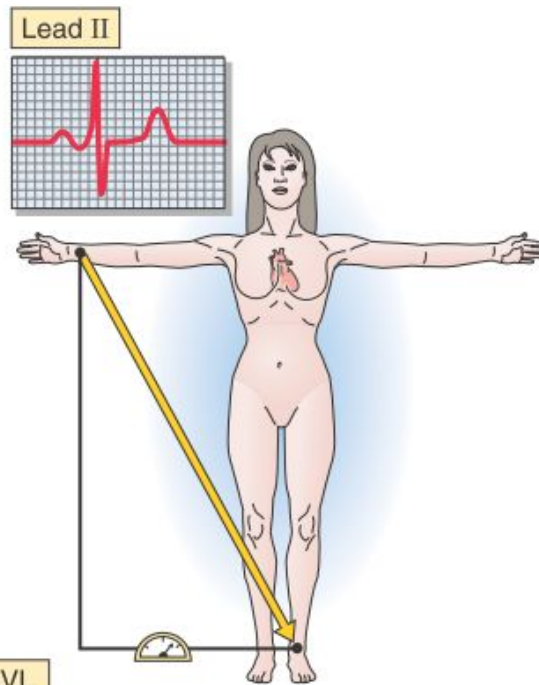
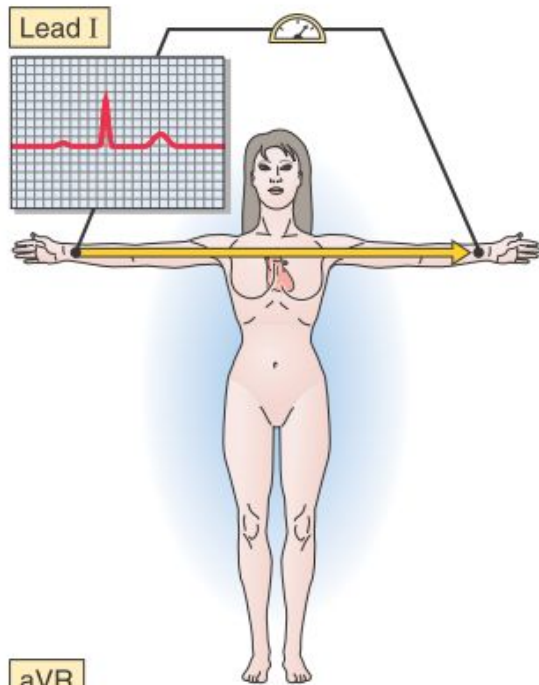


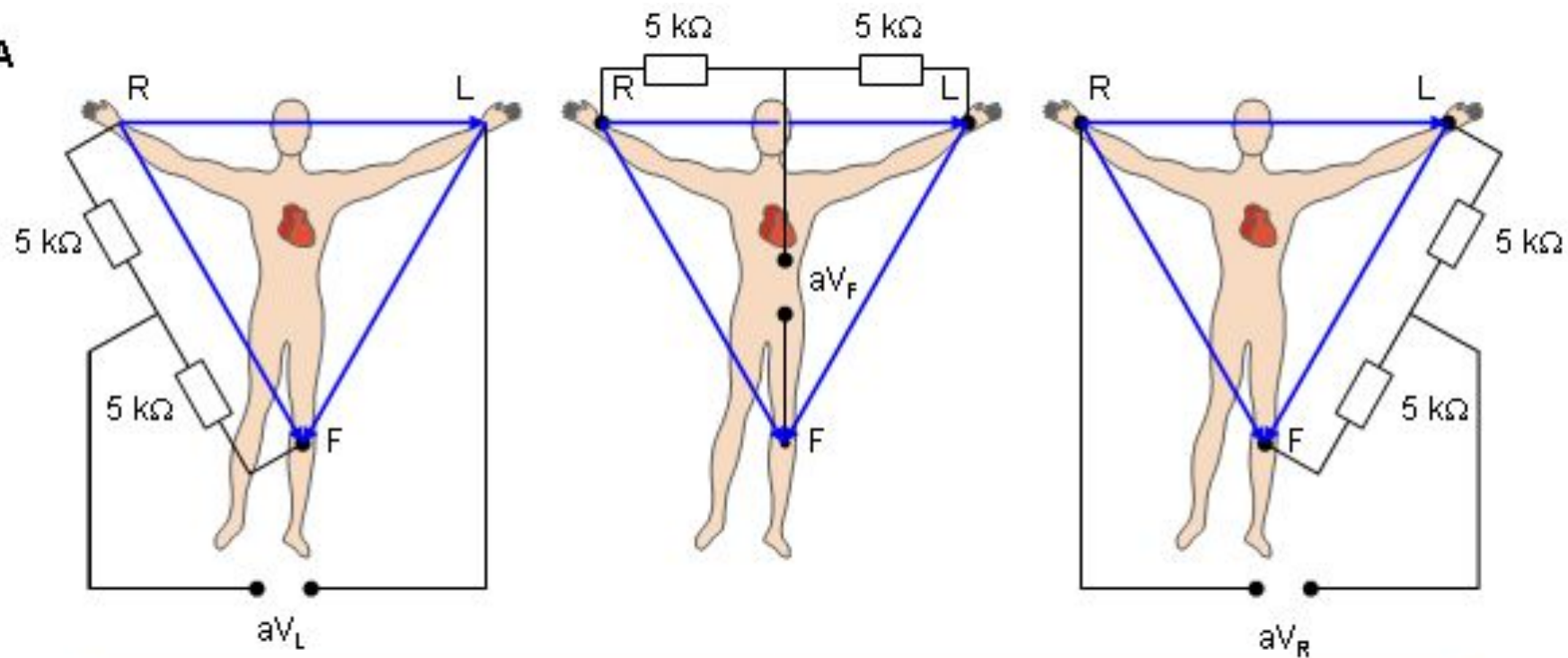
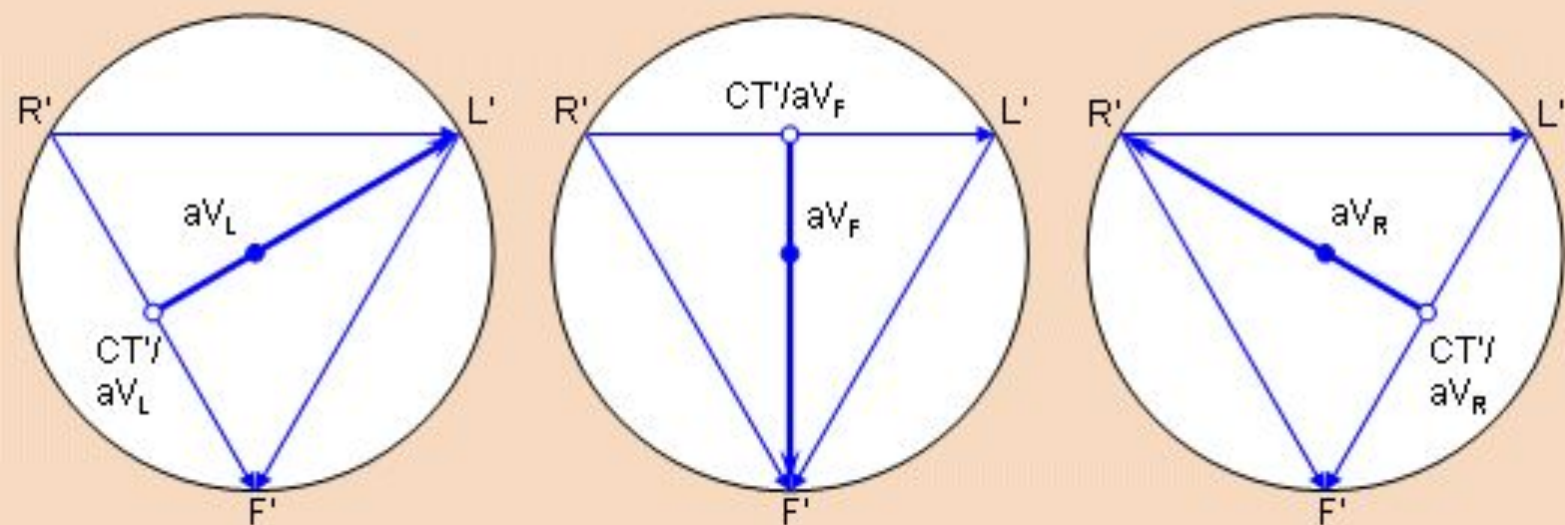
г



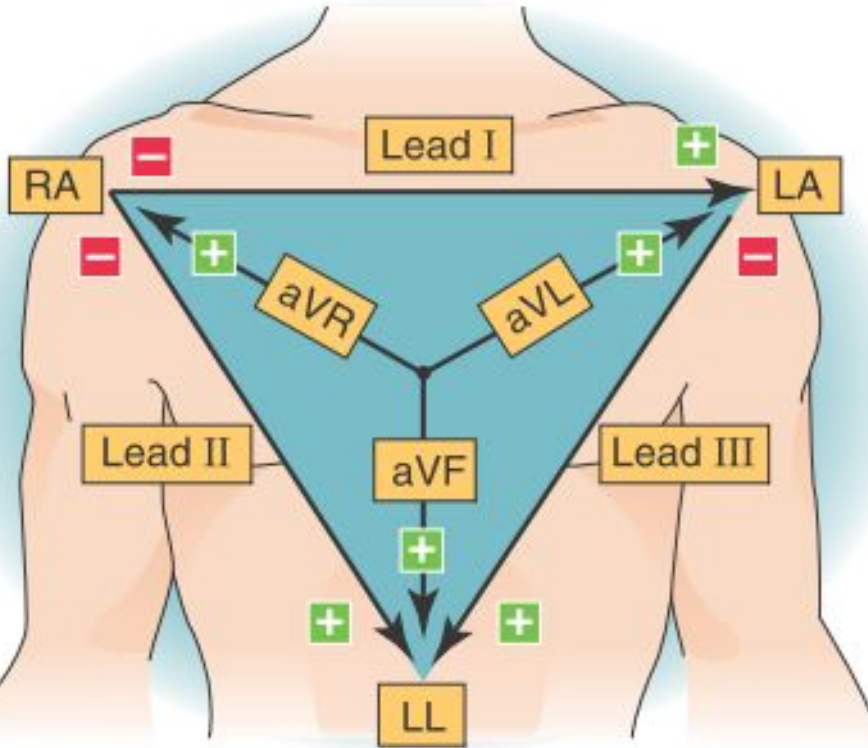
Моментные векторы ЭДС единого сердечного диполя во время деполяризации желудочков (а — г) и средний результирующий вектор возбуждения желудочков (д).

A FRONTAL PLANE LEADS

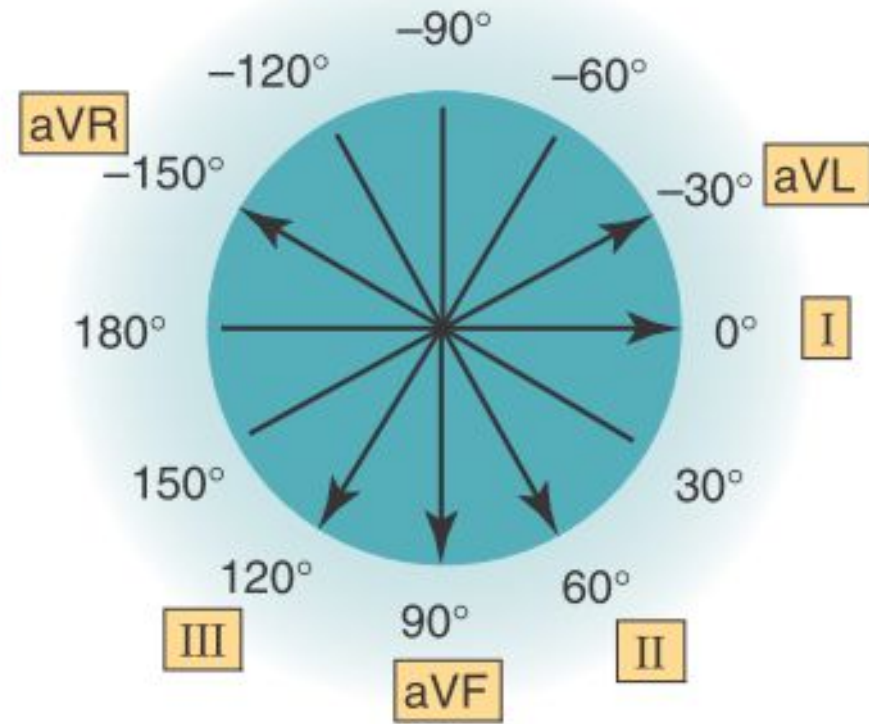


A**B**

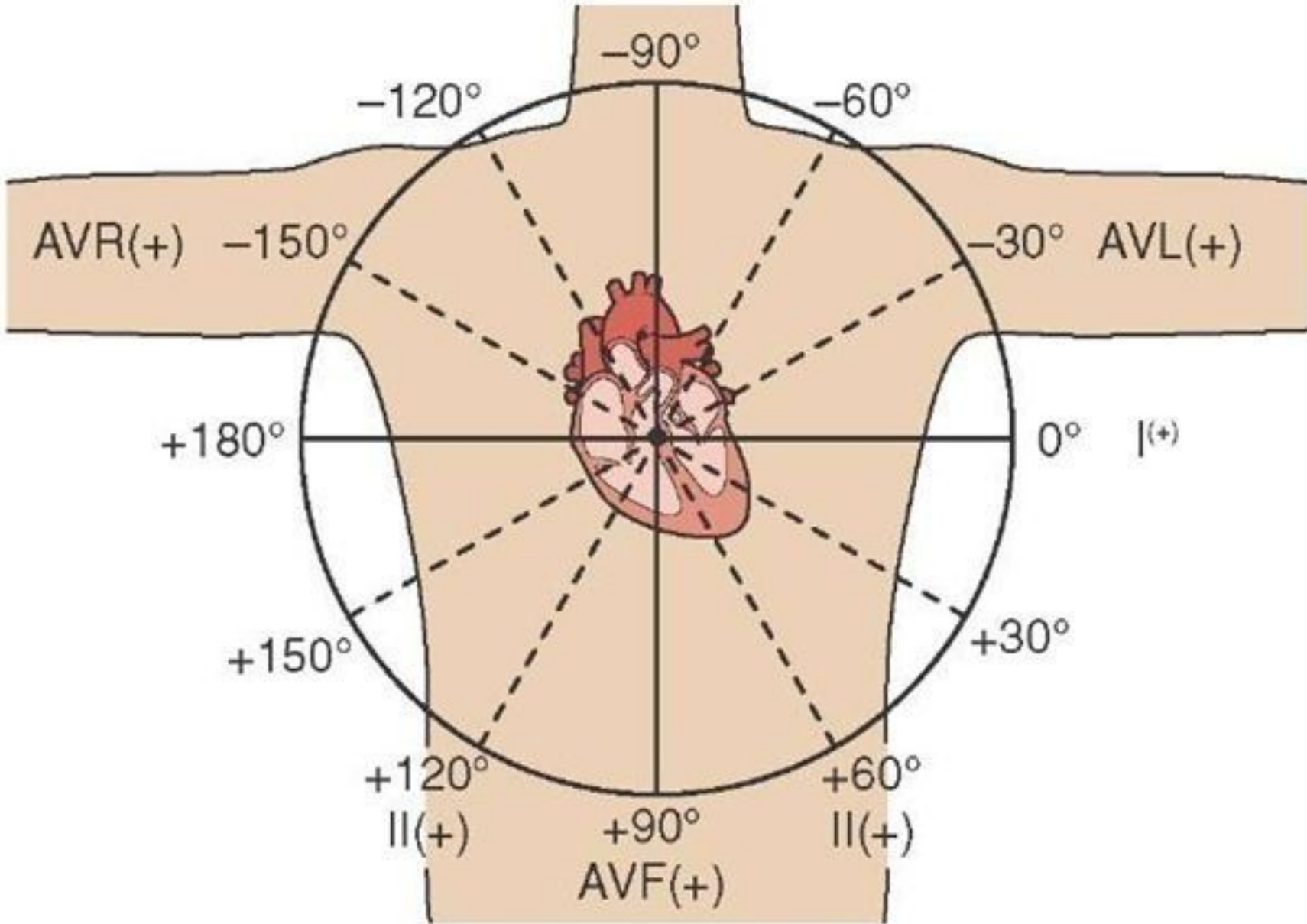
A EINTHOVEN'S TRIANGLE



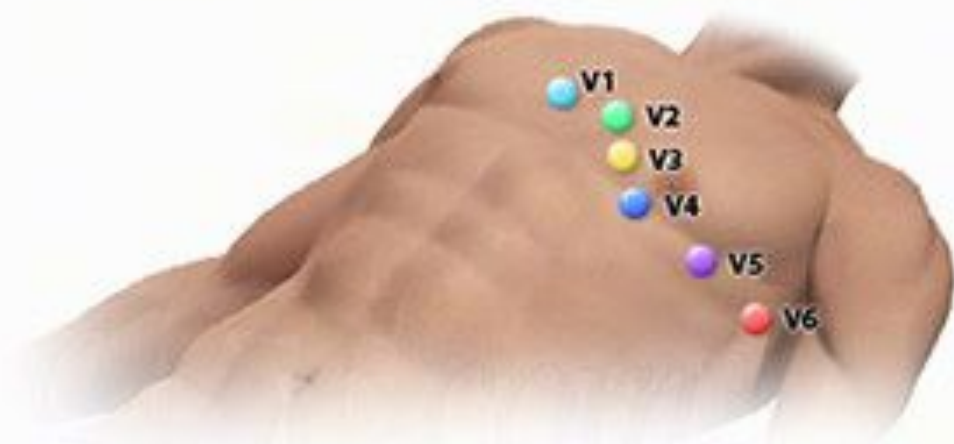
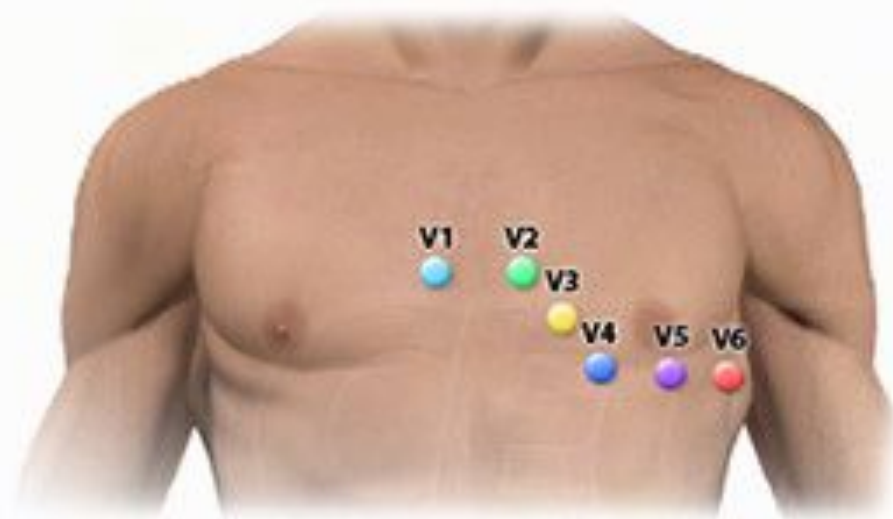
B CIRCLE OF AXES



Hexaxial Reference System

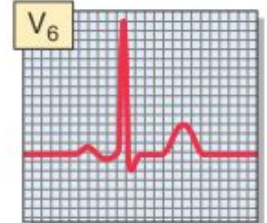
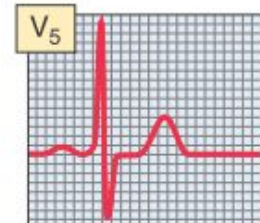
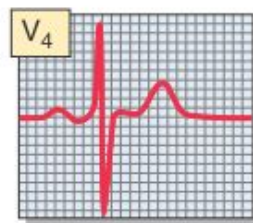
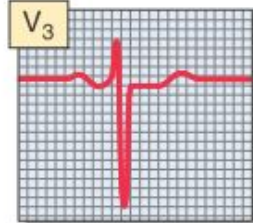
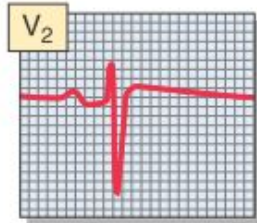
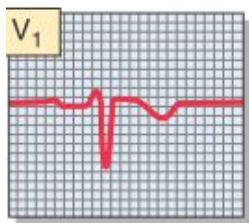
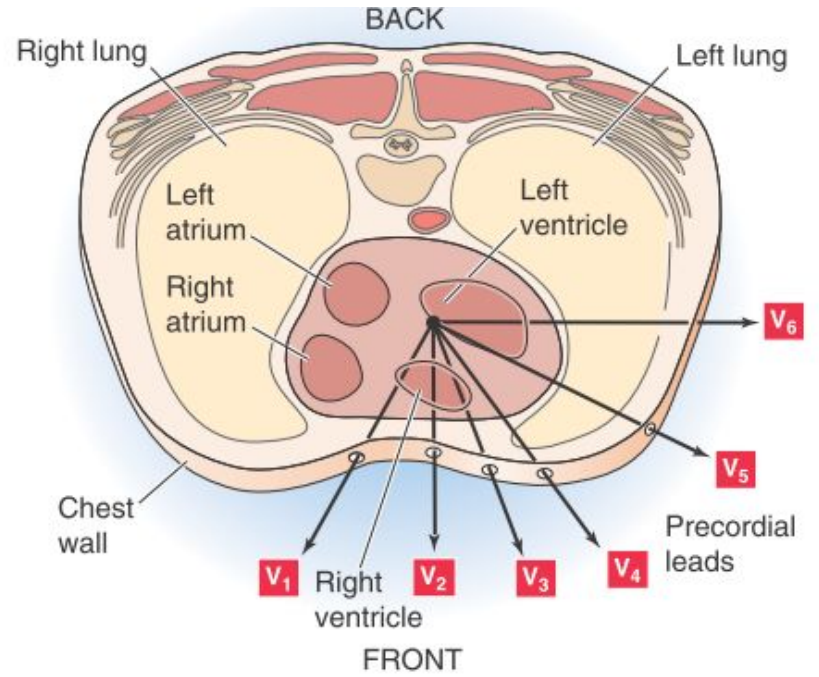
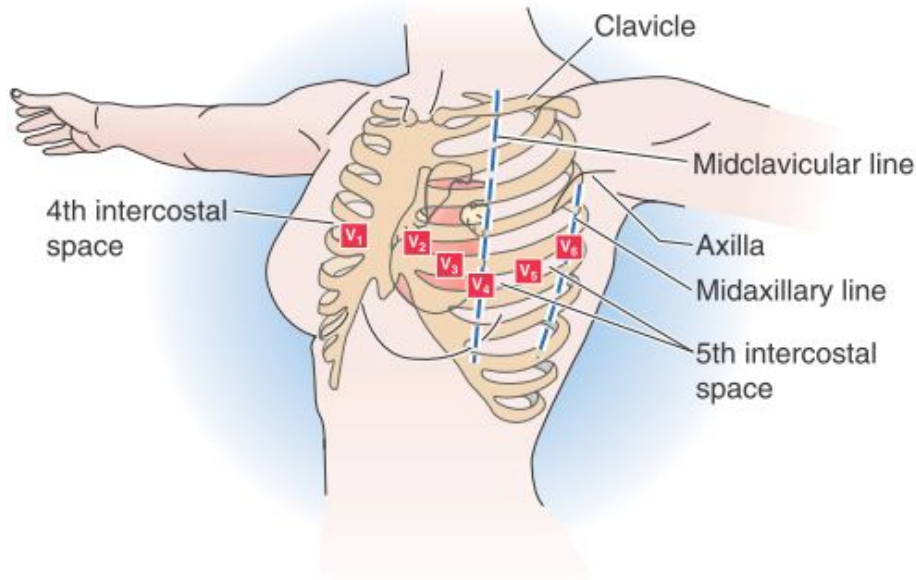


Precordial Leads (chest lead placement)

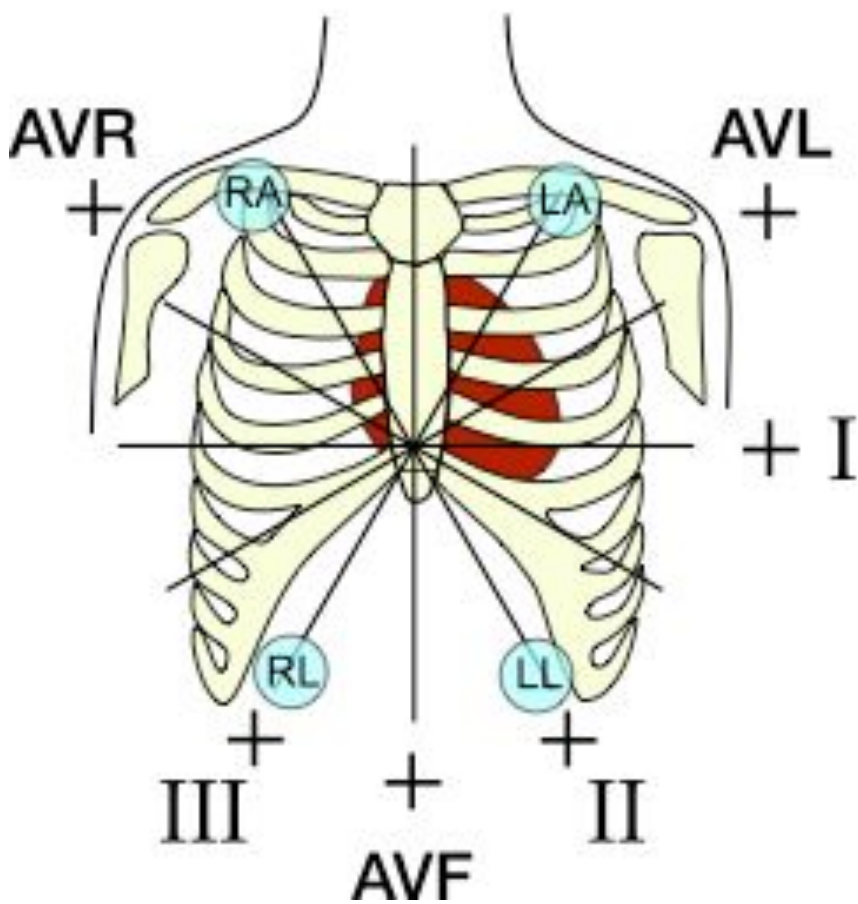


- V1 - 4th intercostal space to the right of the sternum
- V2 - 4th intercostal space to the left of the sternum
- V3 - Halfway between V2 and V4
- V4 - The left midclavicular line in the 5th intercostal space
- V5 - The left anterior axillary line at the same horizontal level as V4
- V6 - The left midaxillary line at the same horizontal level as V4 and V5

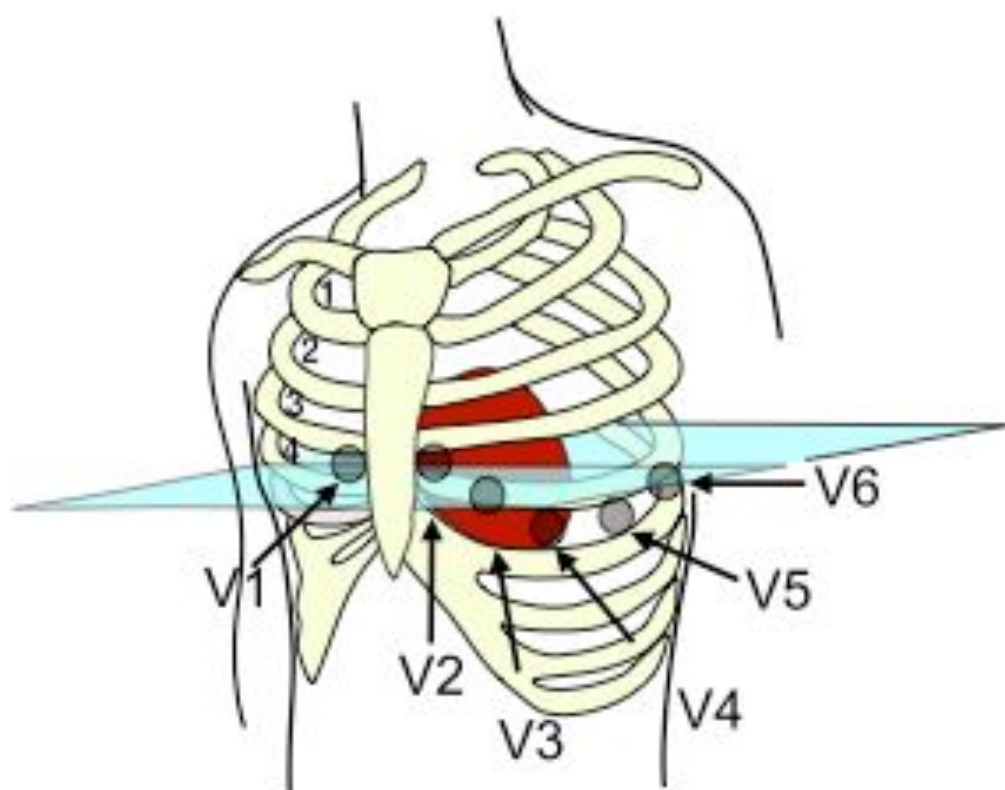
B TRANSVERSE PLANE-PRECARDIAL LEADS



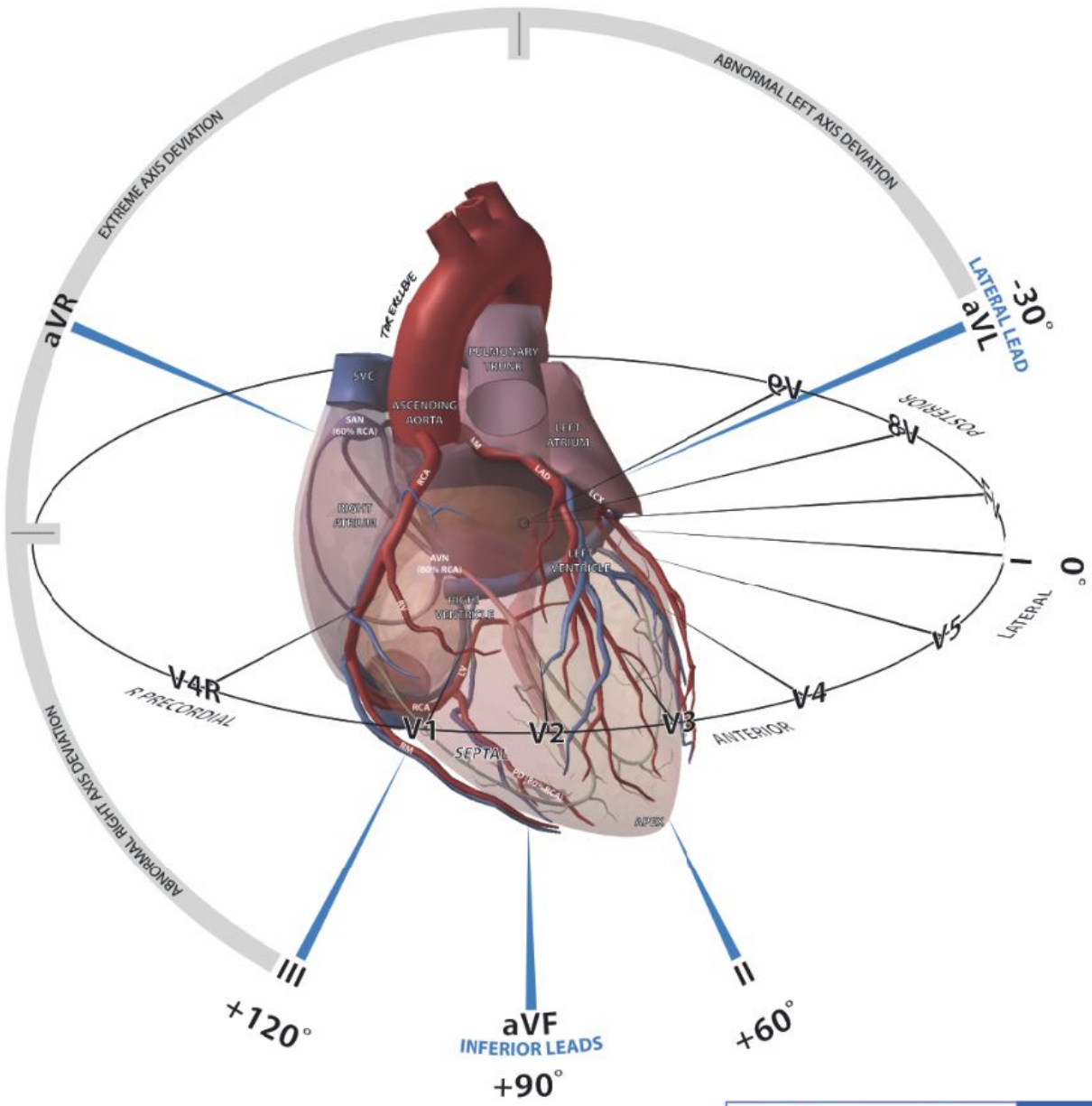
The 6 Limb Leads

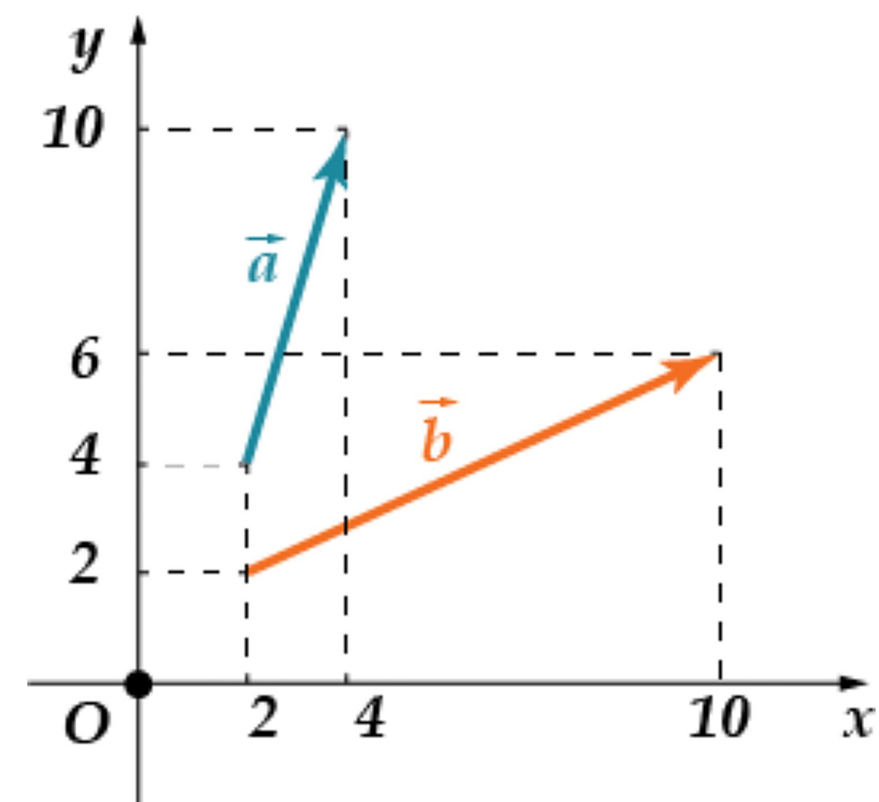
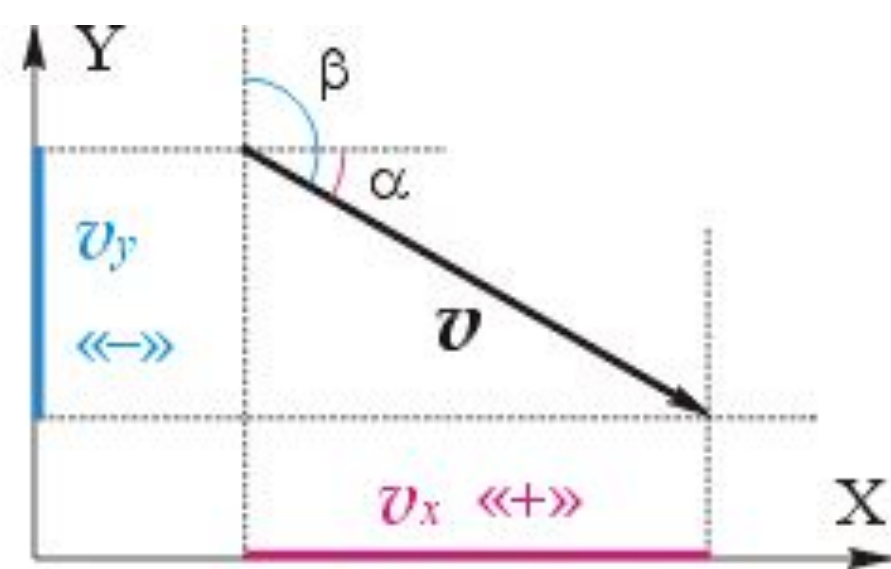
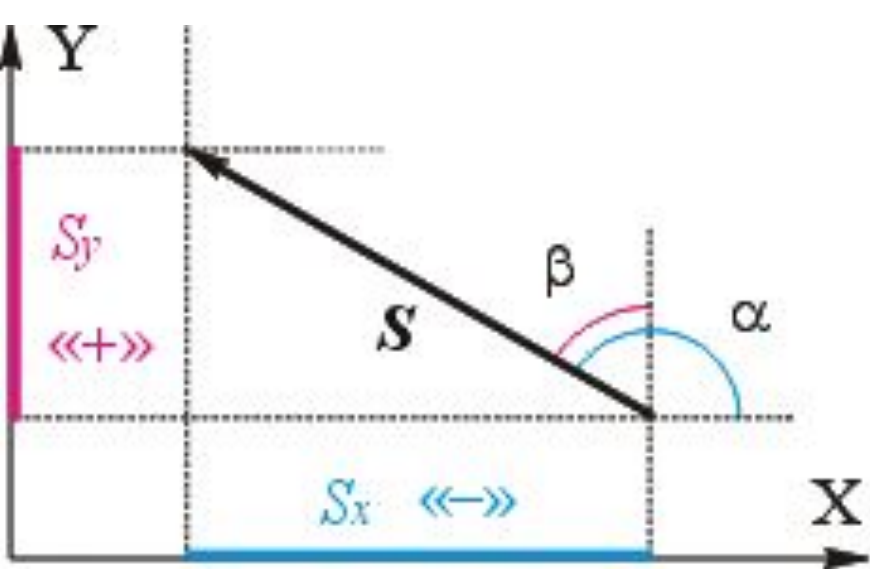


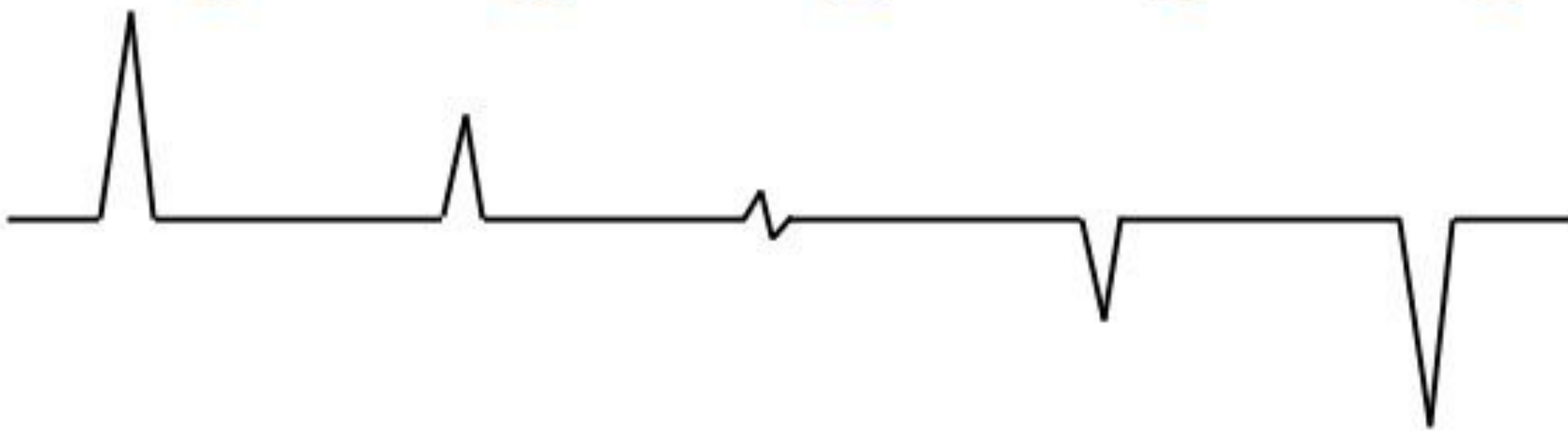
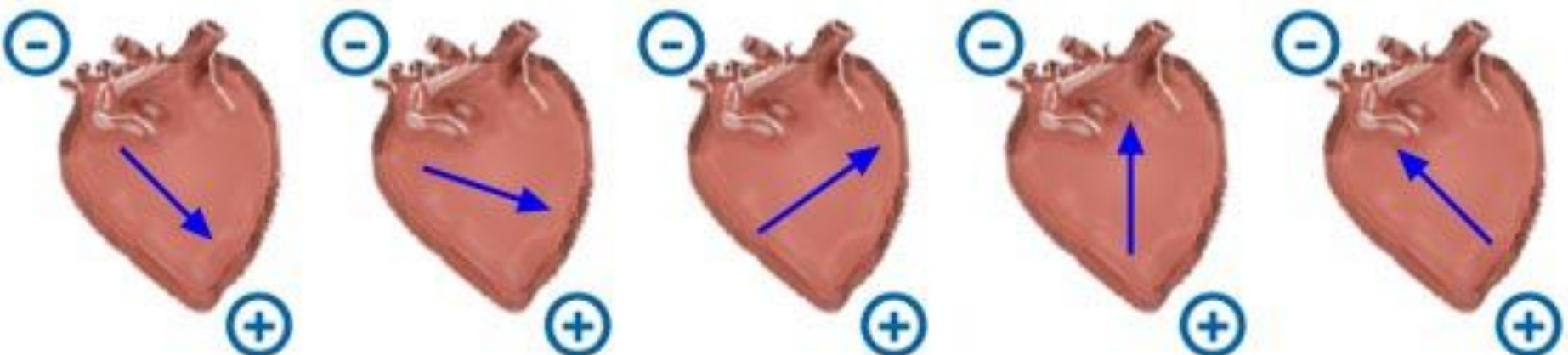
The 6 Left Chest Leads

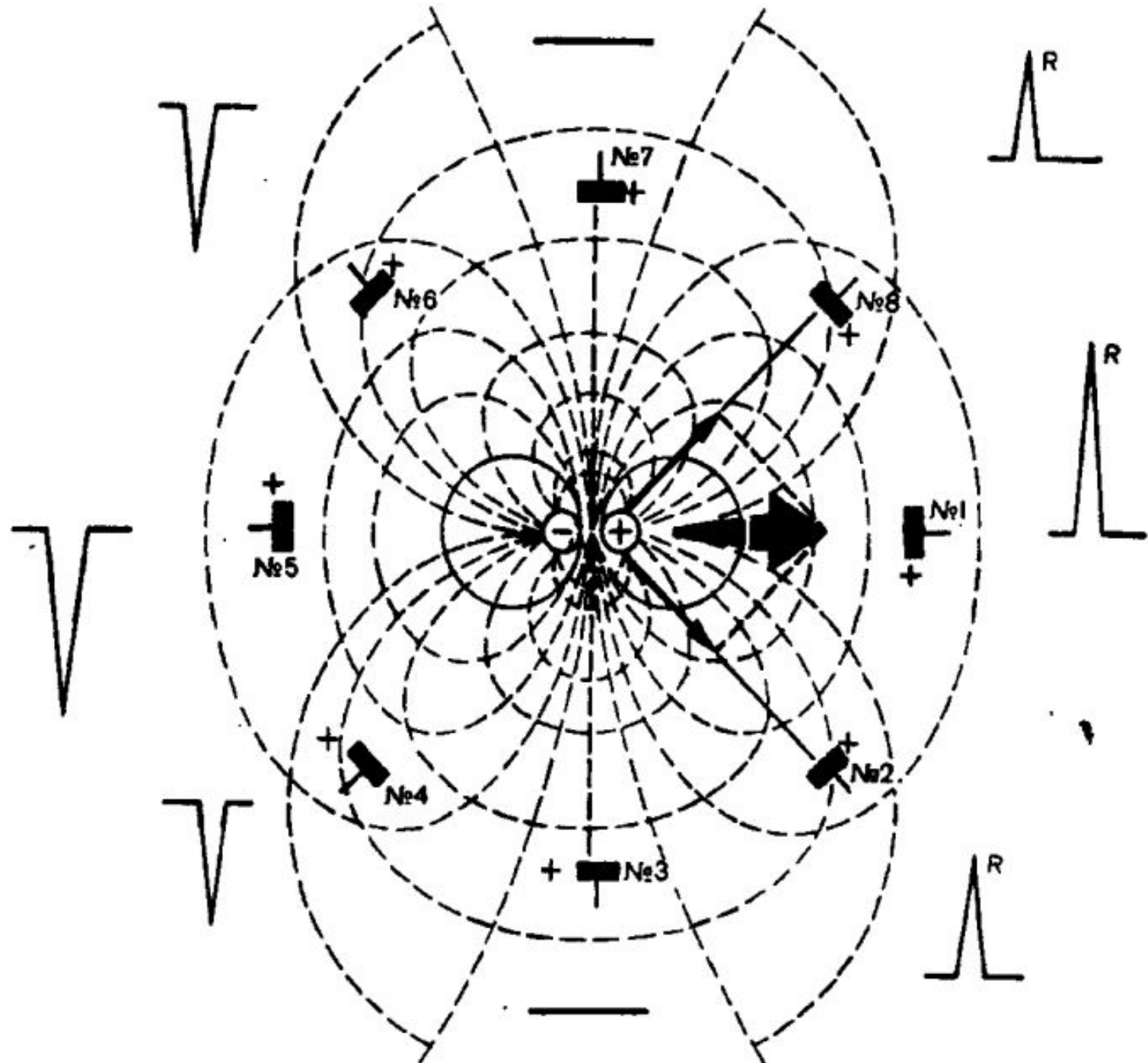


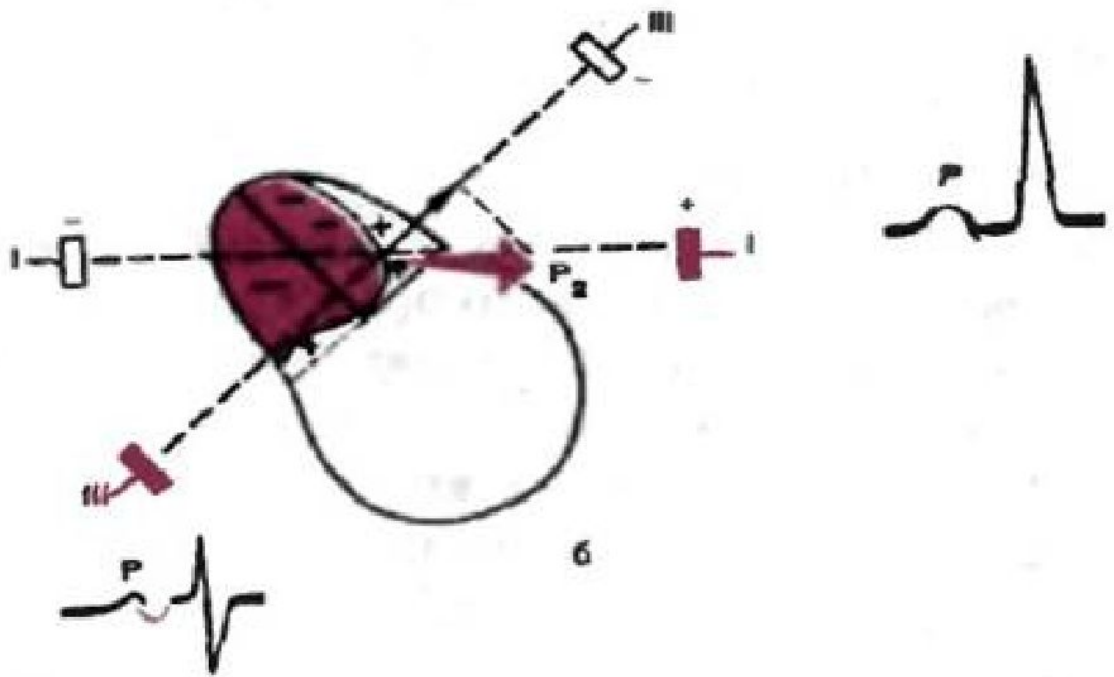
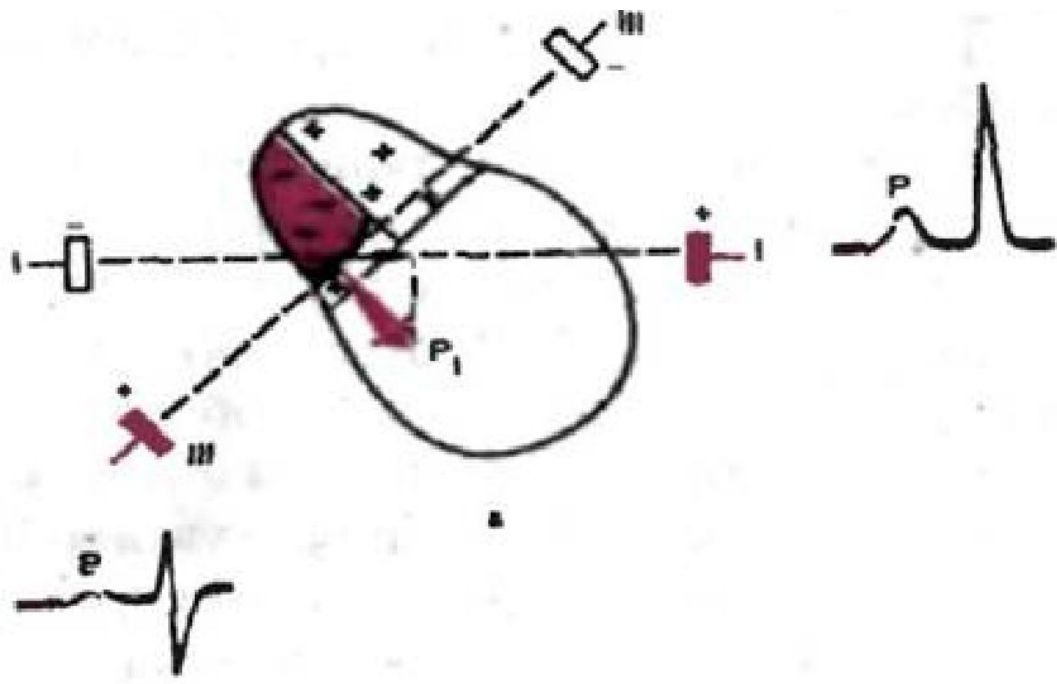
AMI ECG, ANATOMY AND PATHOLOGY

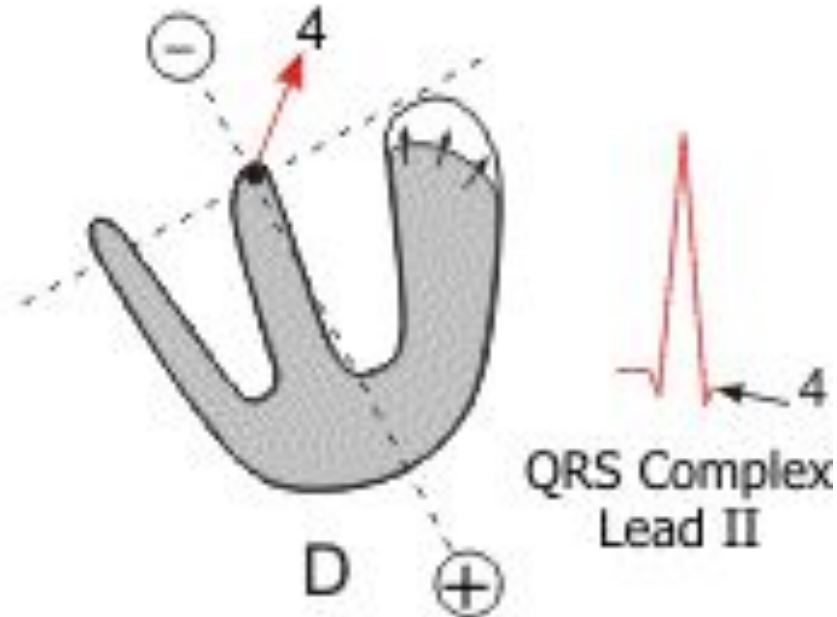
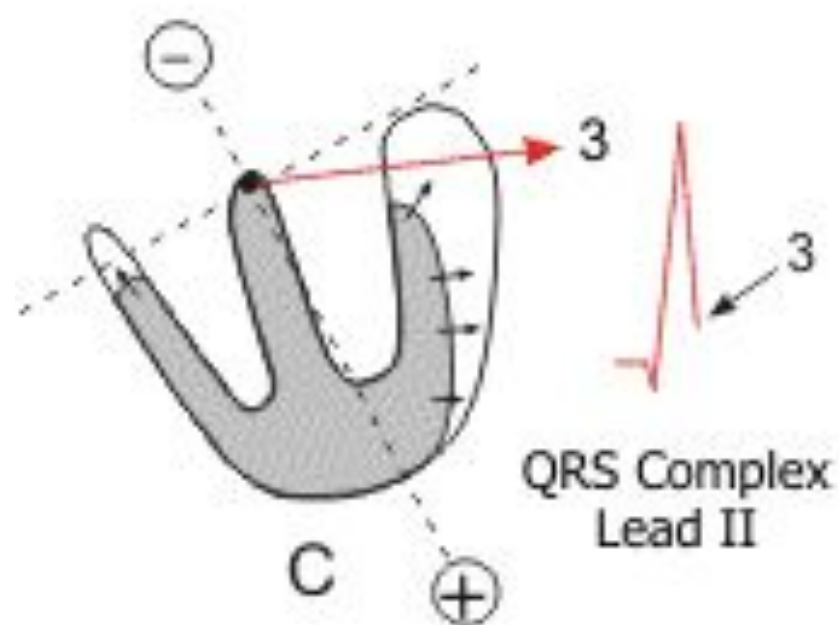
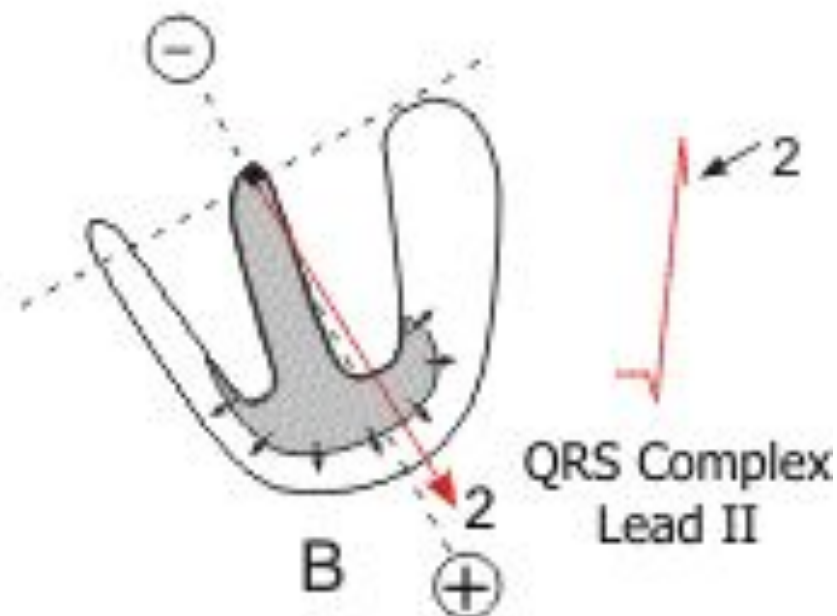
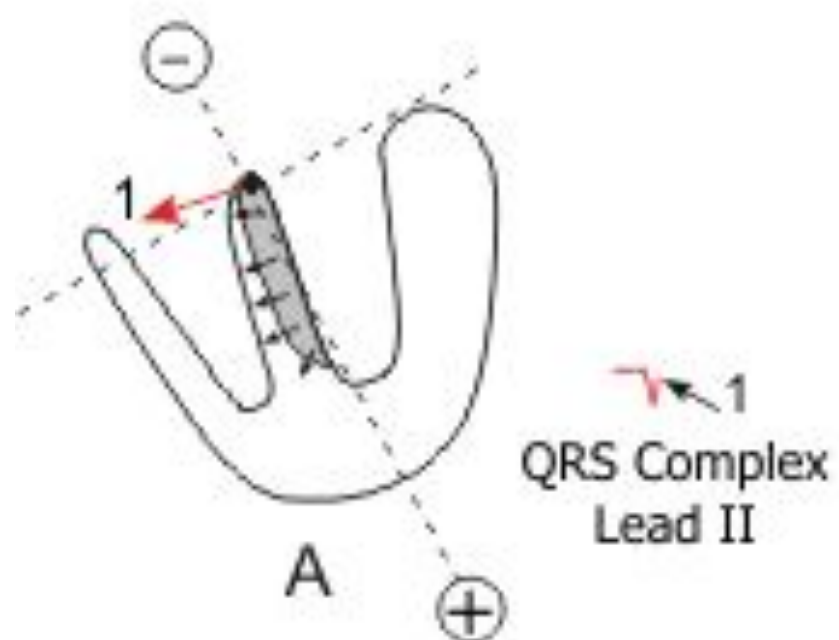


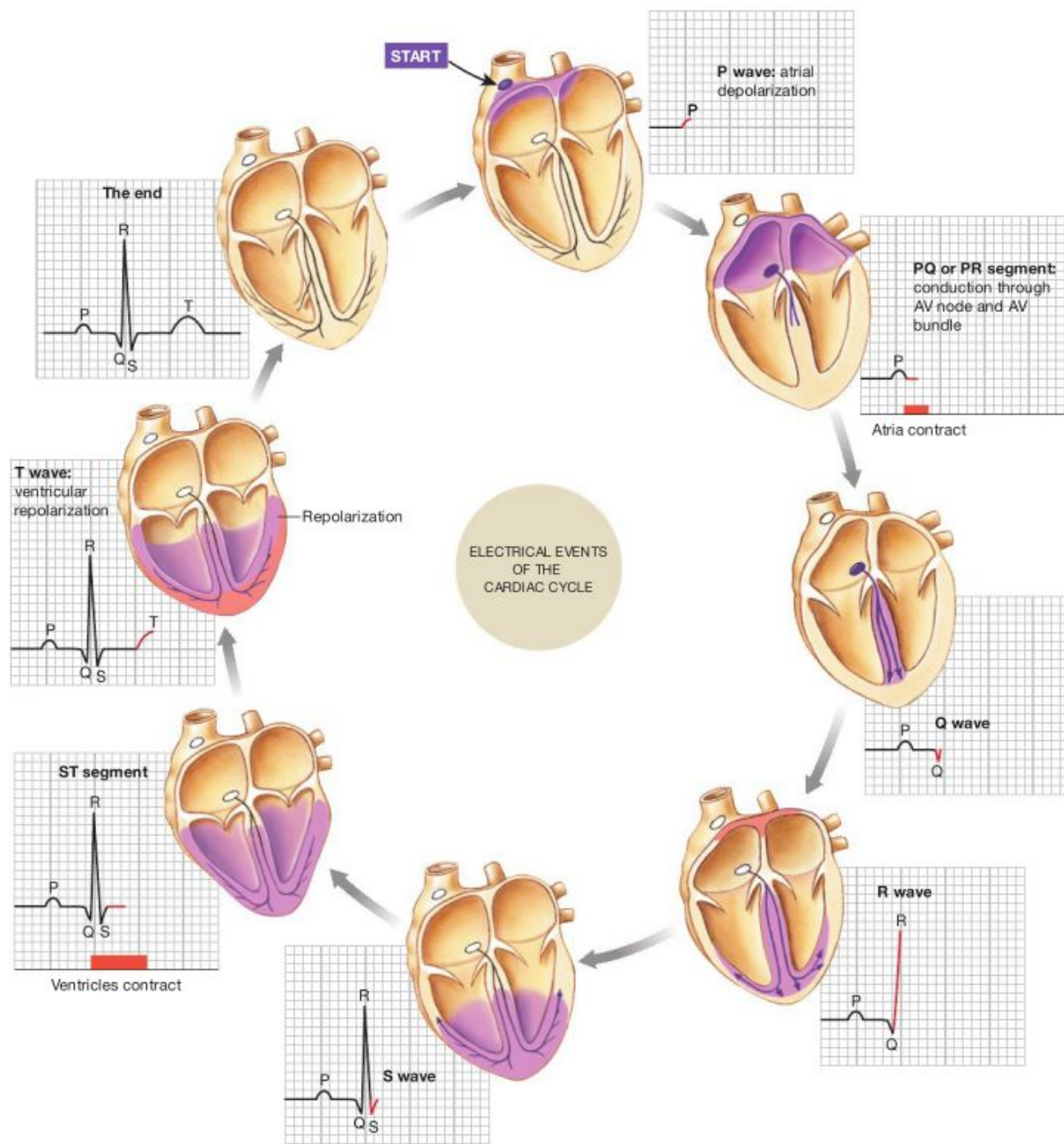


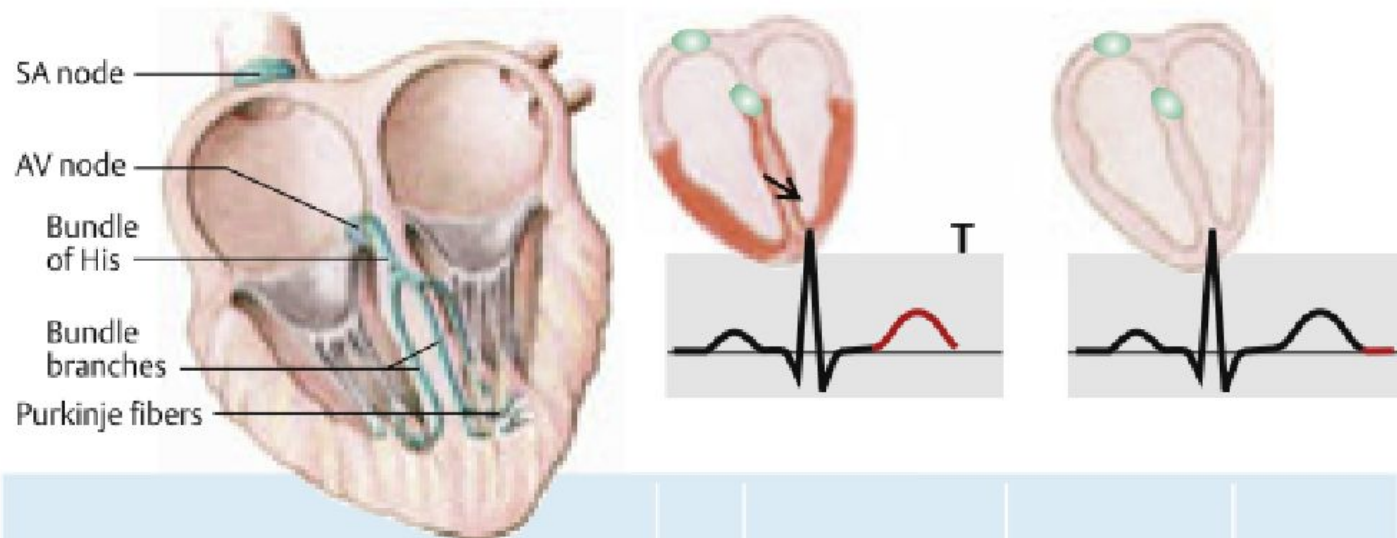
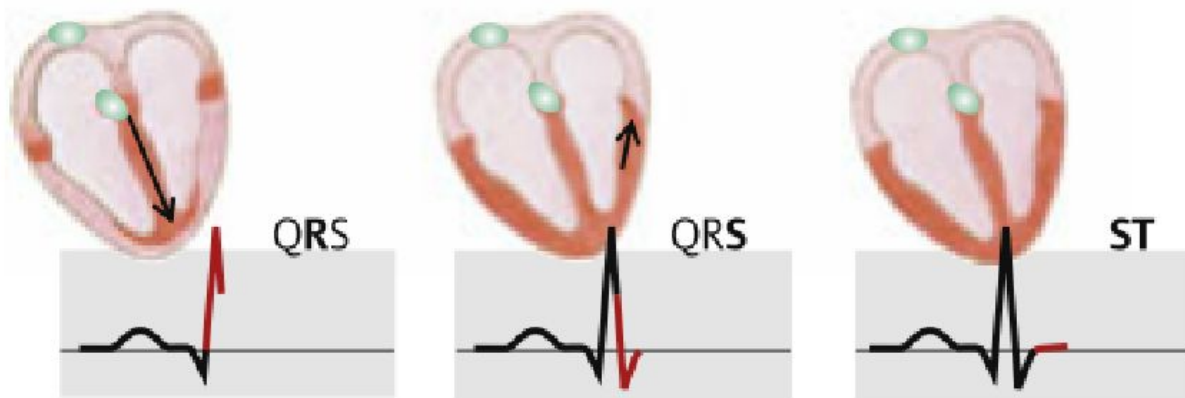
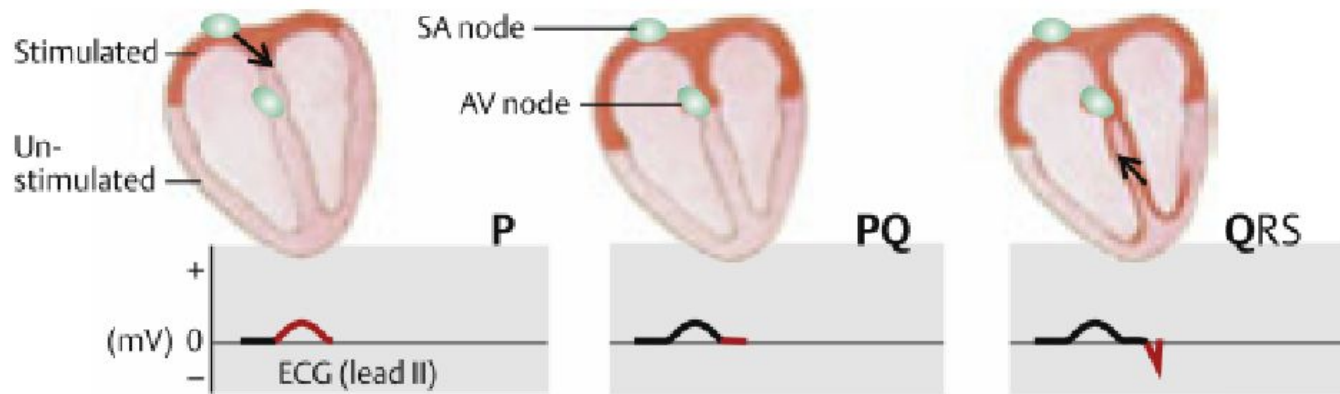


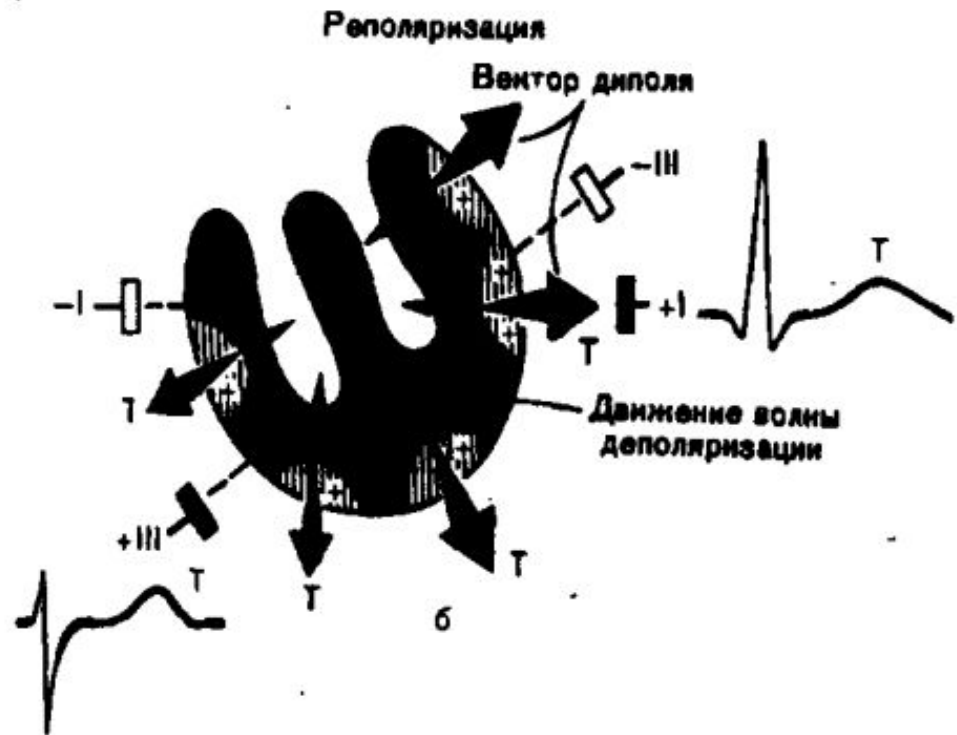
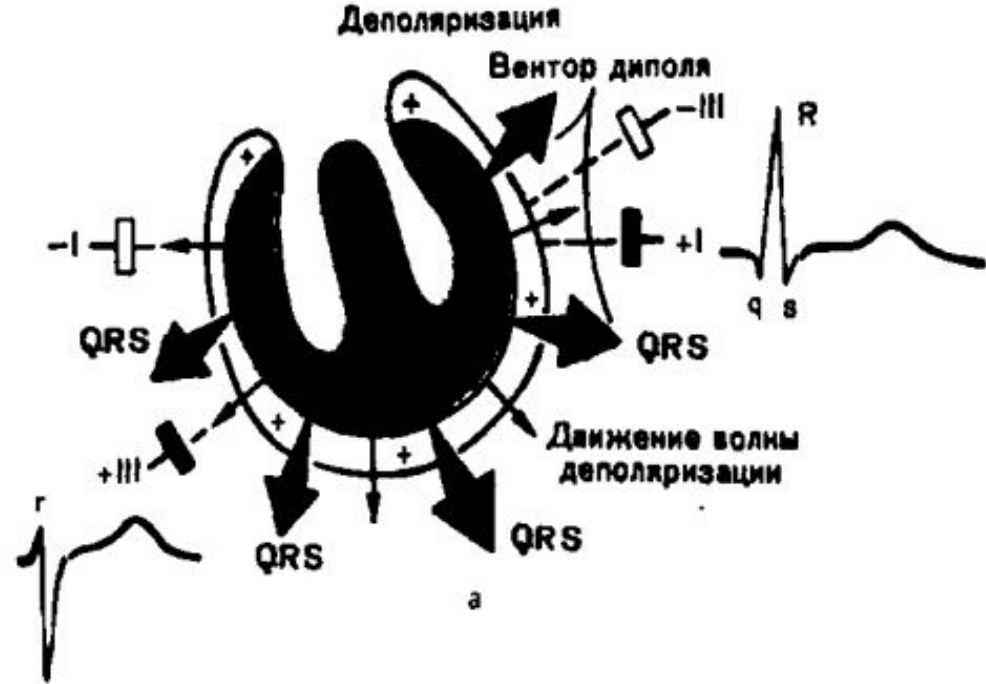


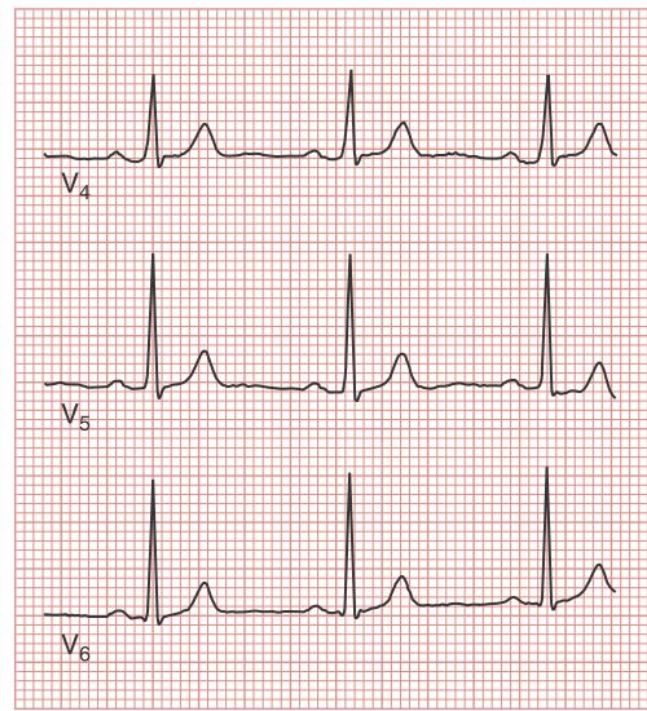
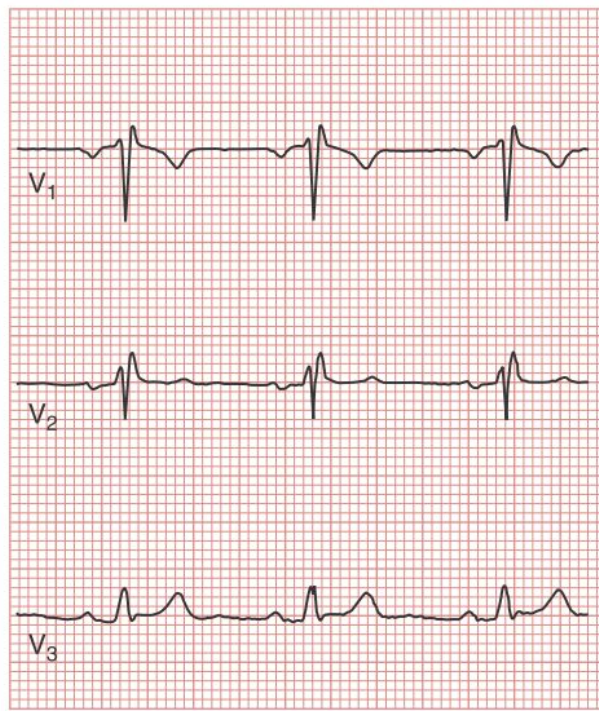
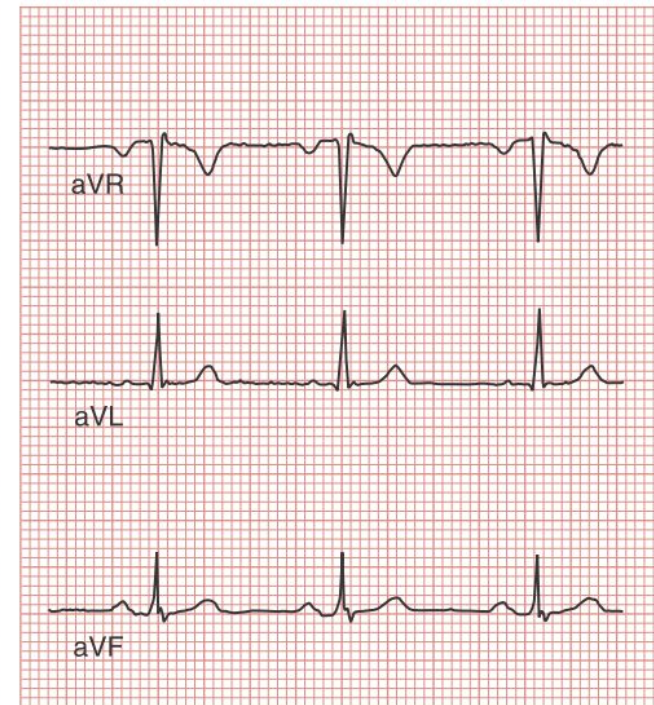
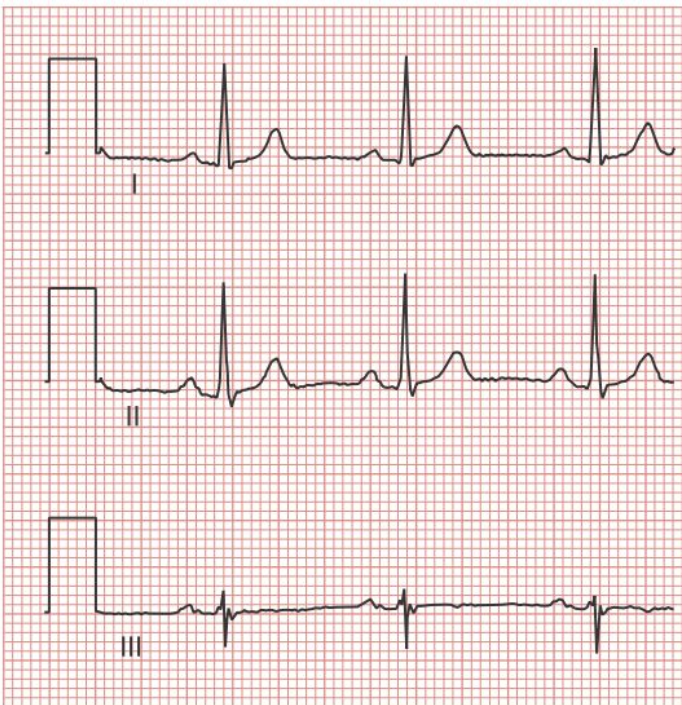












Atrial Fibre & Ventricular Fibre Action Potentials

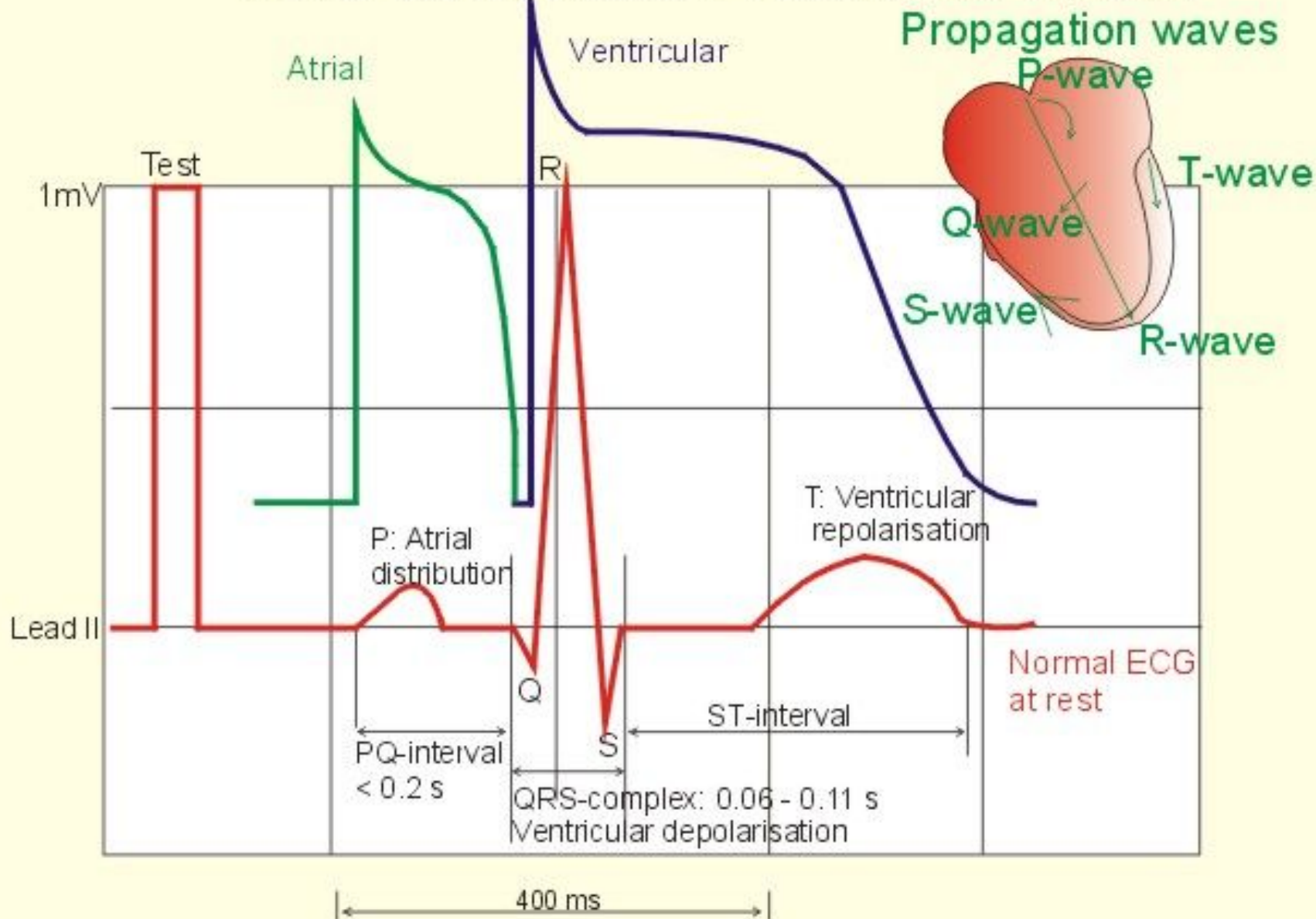
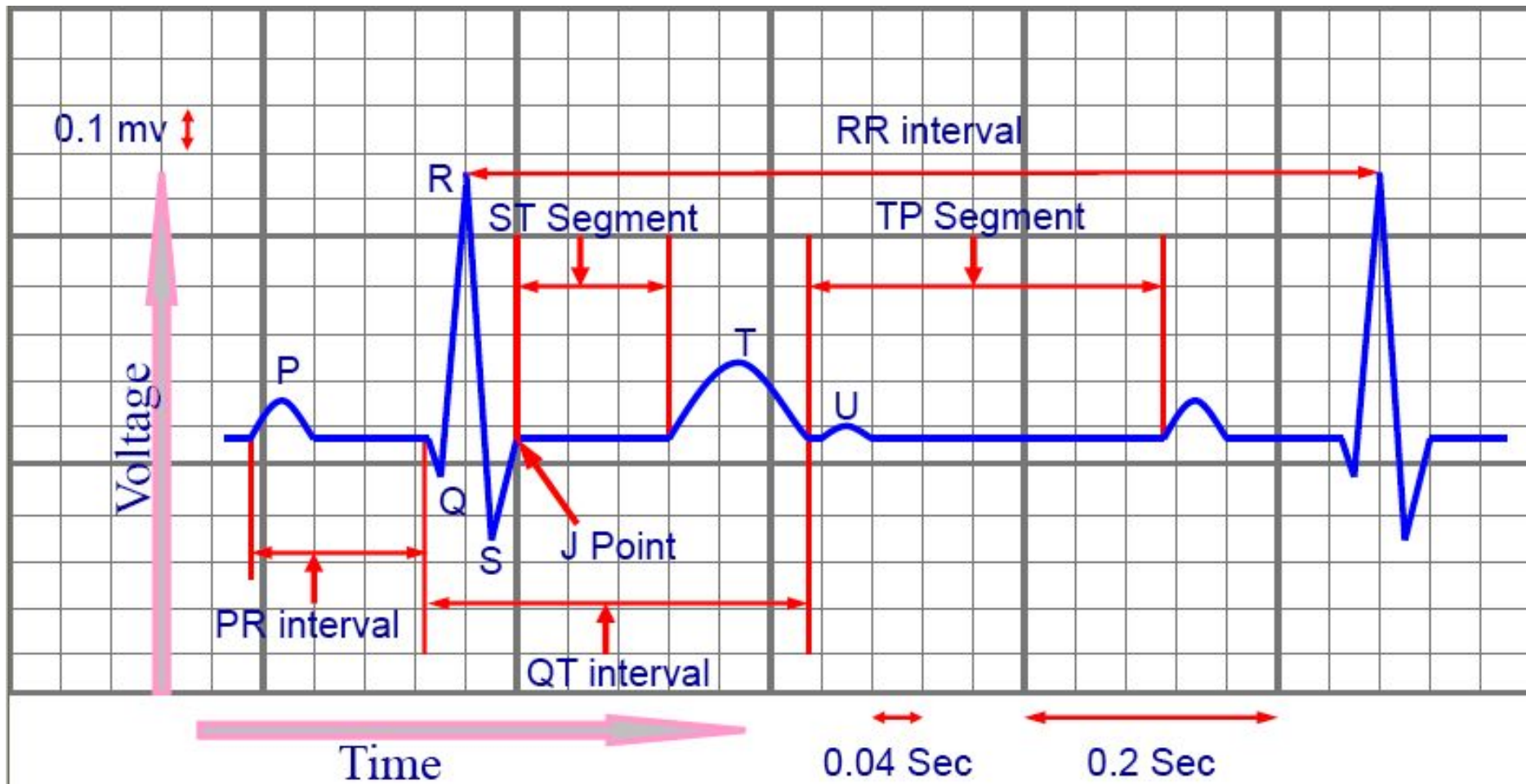
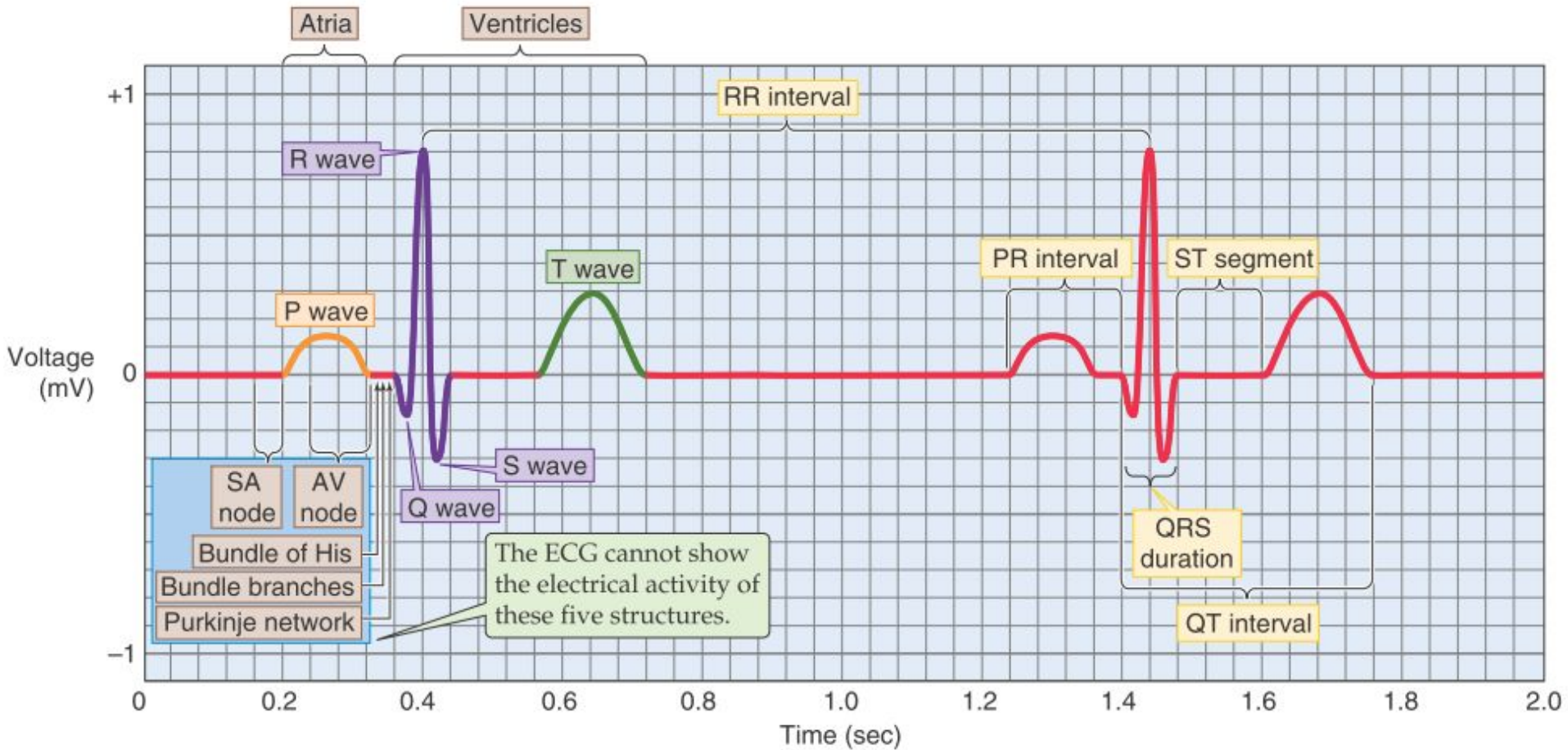


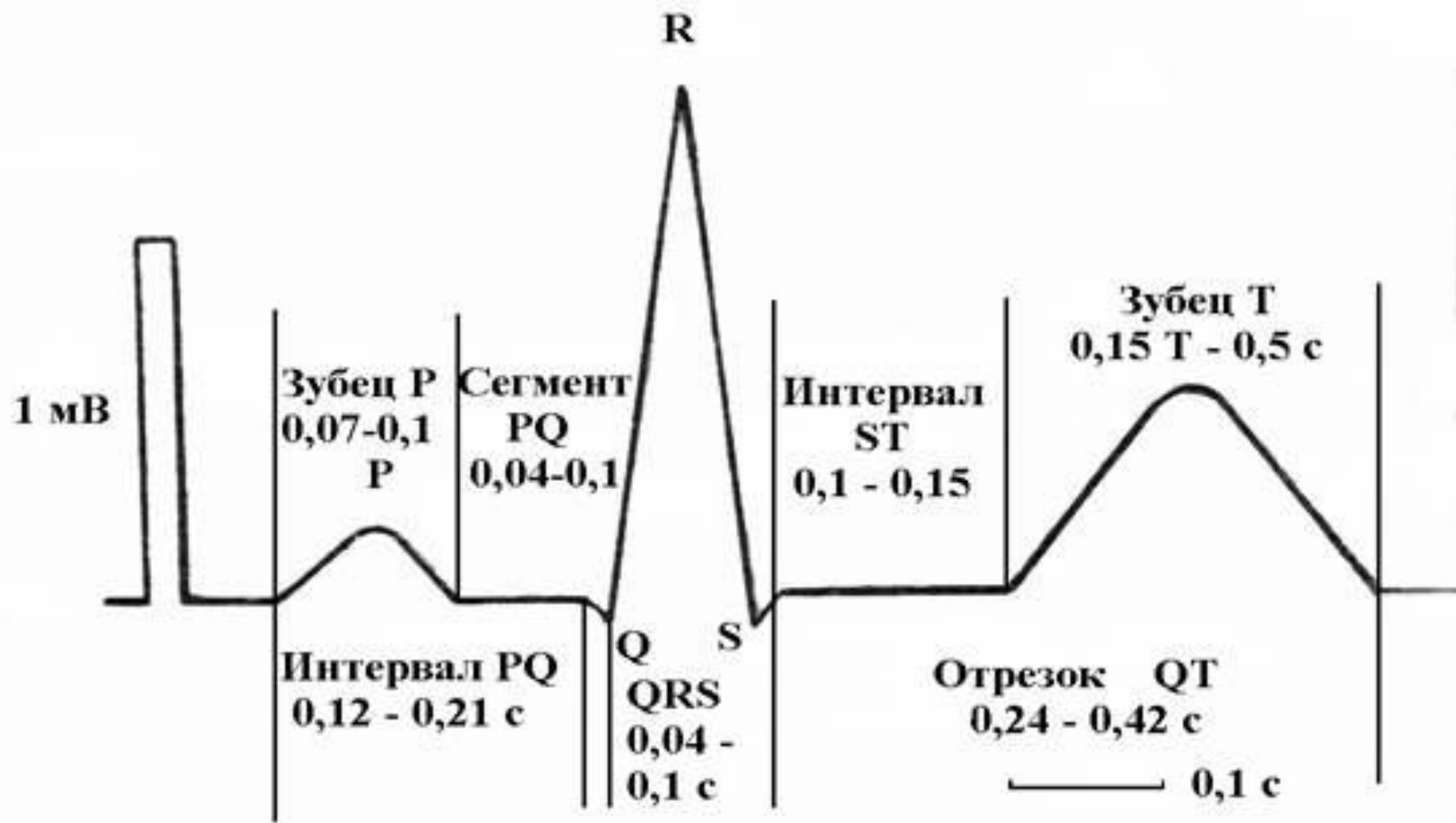
Fig. 11-6



- PR interval 0.12 – 0.20 sec
- QRS duration 0.08 – 0.10 sec

- QT interval 0.4 – 0.43 sec
- RR interval 0.6 – 1.0 sec





Зубцы ЭКГ	Амплитуда в мм	Продолжительность	
		в секундах	в мм
зубец P	1,5—2,5	0,1	5
интервал P—Q (R)	—	0,12—0,20	6—10
зубец Q	не больше 1/4 R	0,03	1,5
зубец R	I-а VF до 20 мм V1—V6 до 25 мм	—	—
зубец S	не больше 20 мм	—	—
комплекс ORS	—	до 0,12	до 6
зубец T	I-а VF до 6 мм V1—V6 до 17 мм	0,16—0,24	8—12

Electrochemical Generator In A Volume Conductor

Einthovens triangle with 3 standard leads in the frontal plane

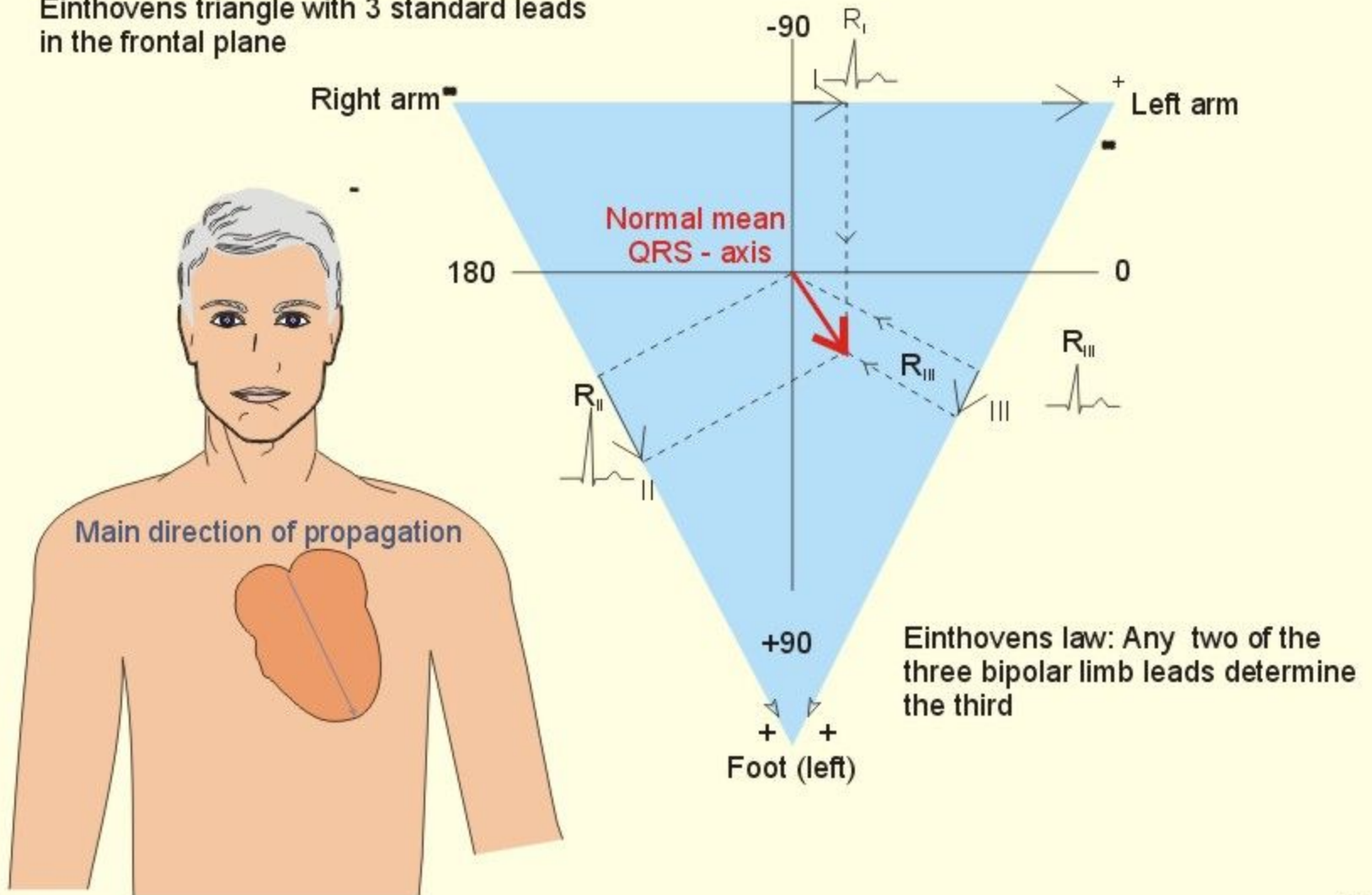
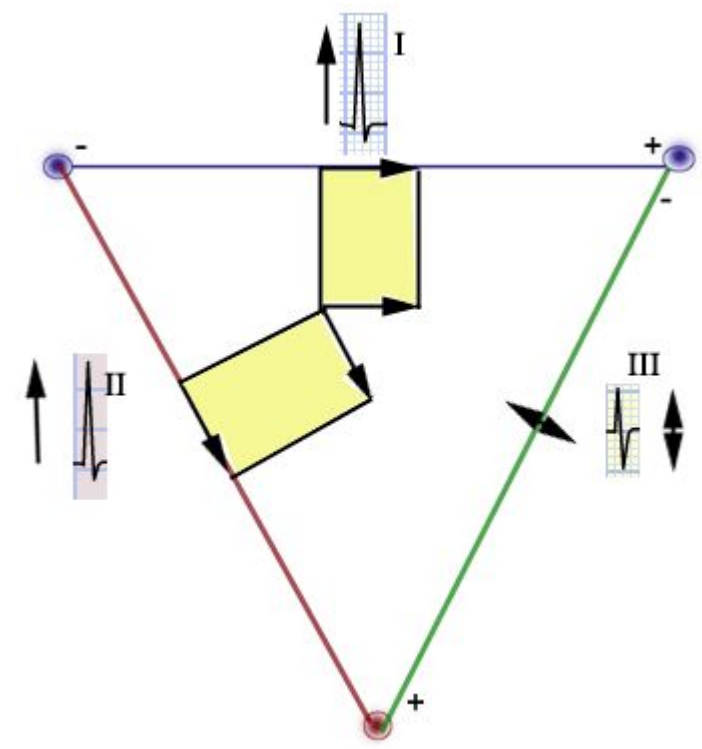
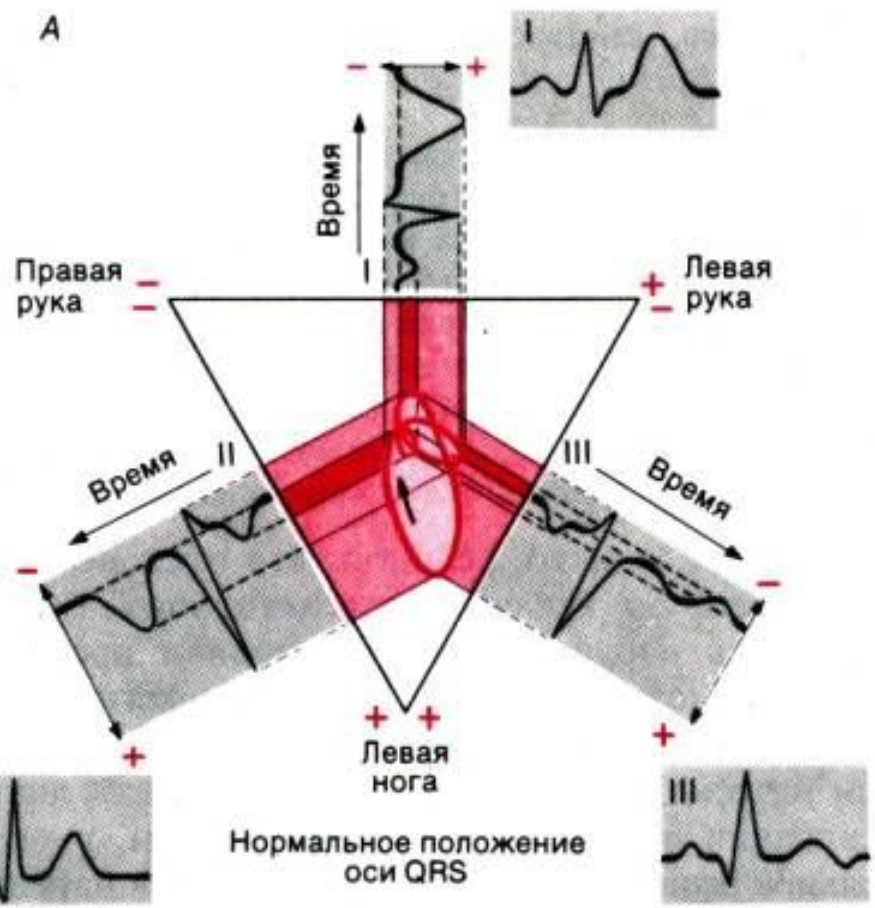
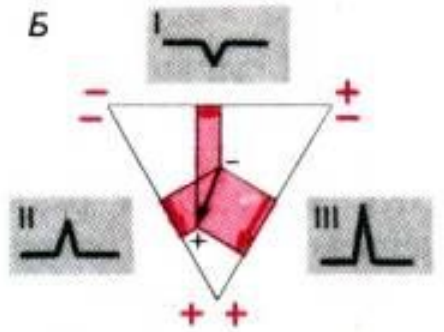


Fig. 11-5

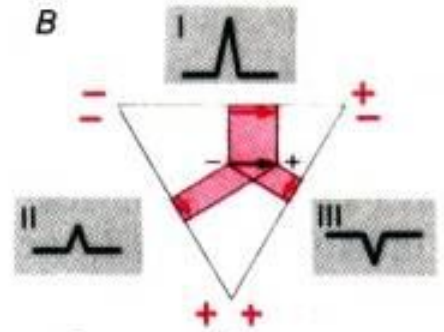
A



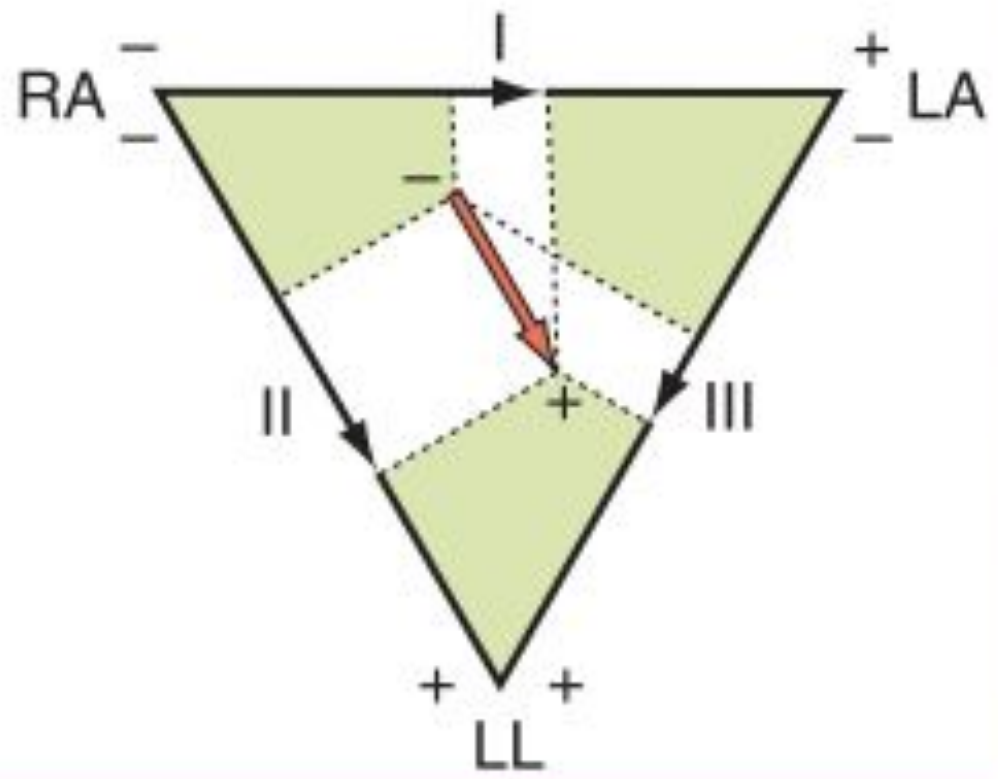
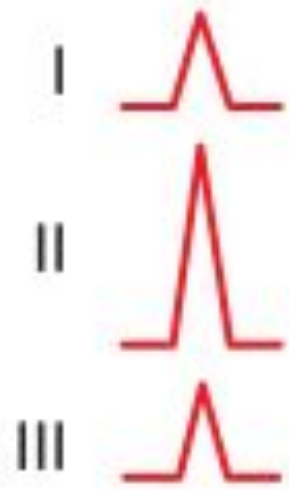
Б



В

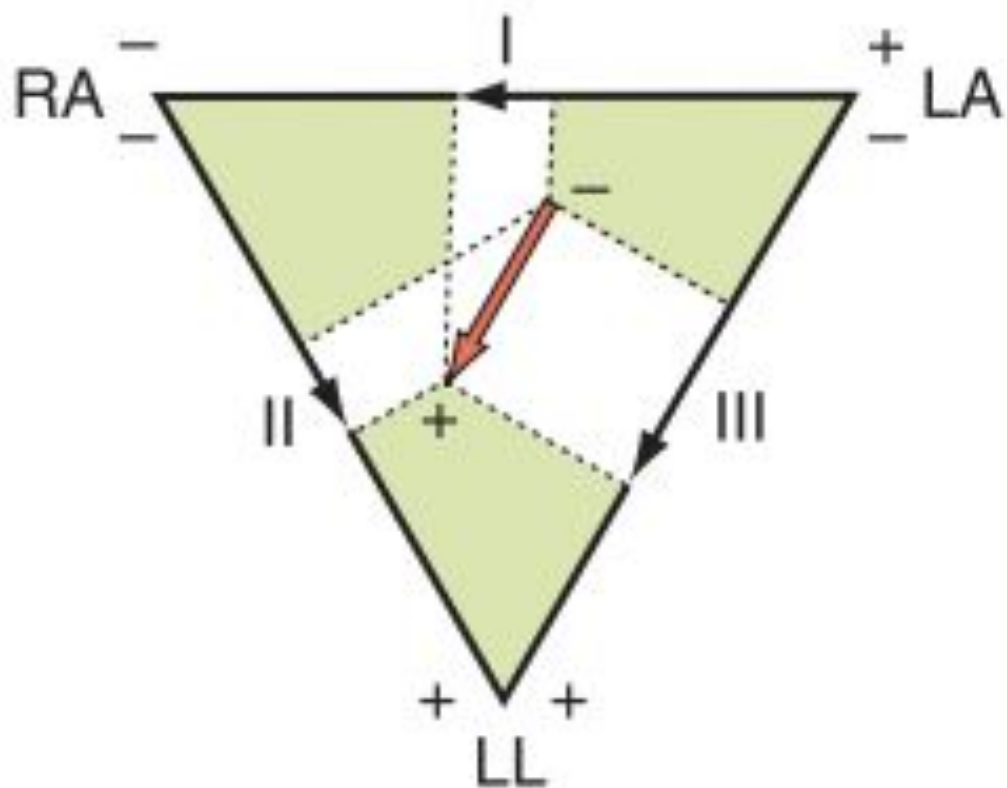


Normal axis
 $\theta = 60$ degrees

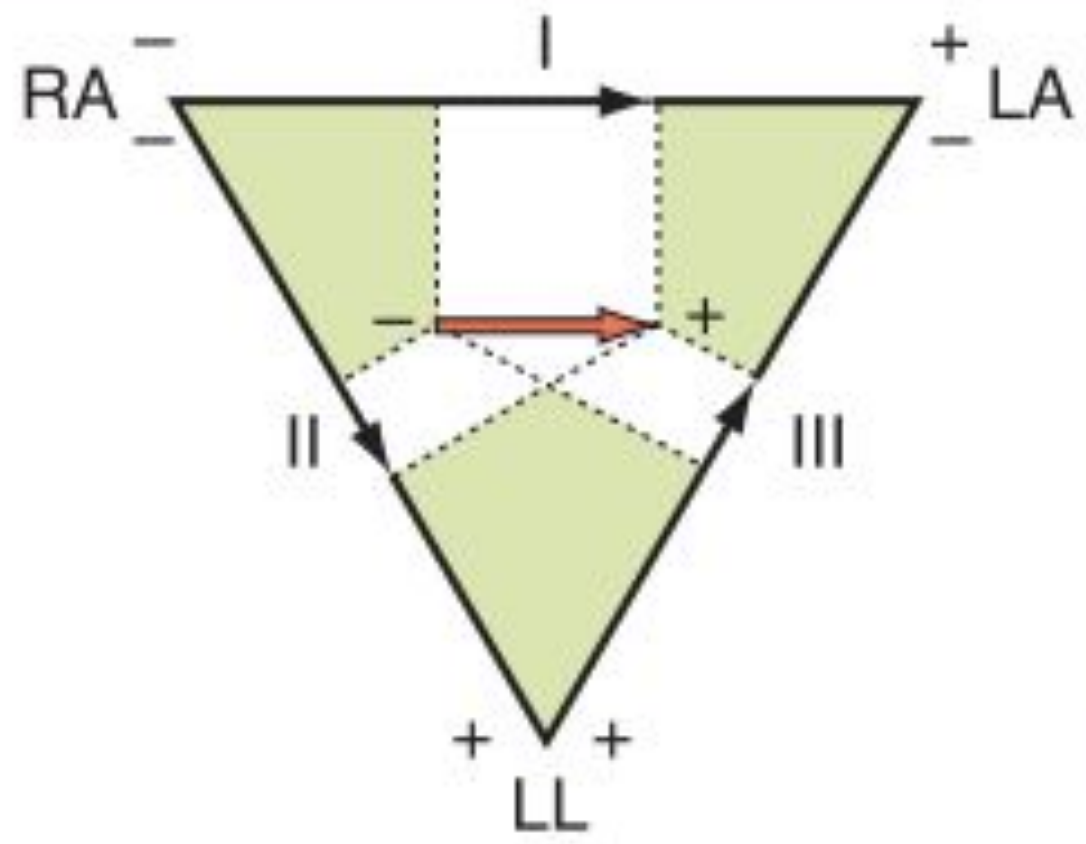
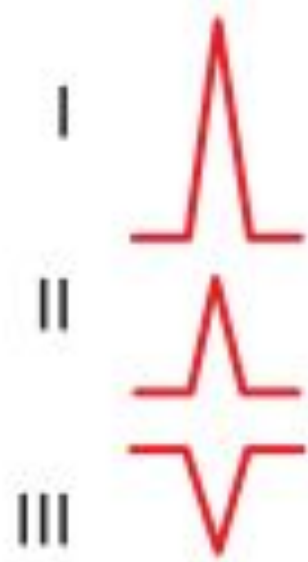


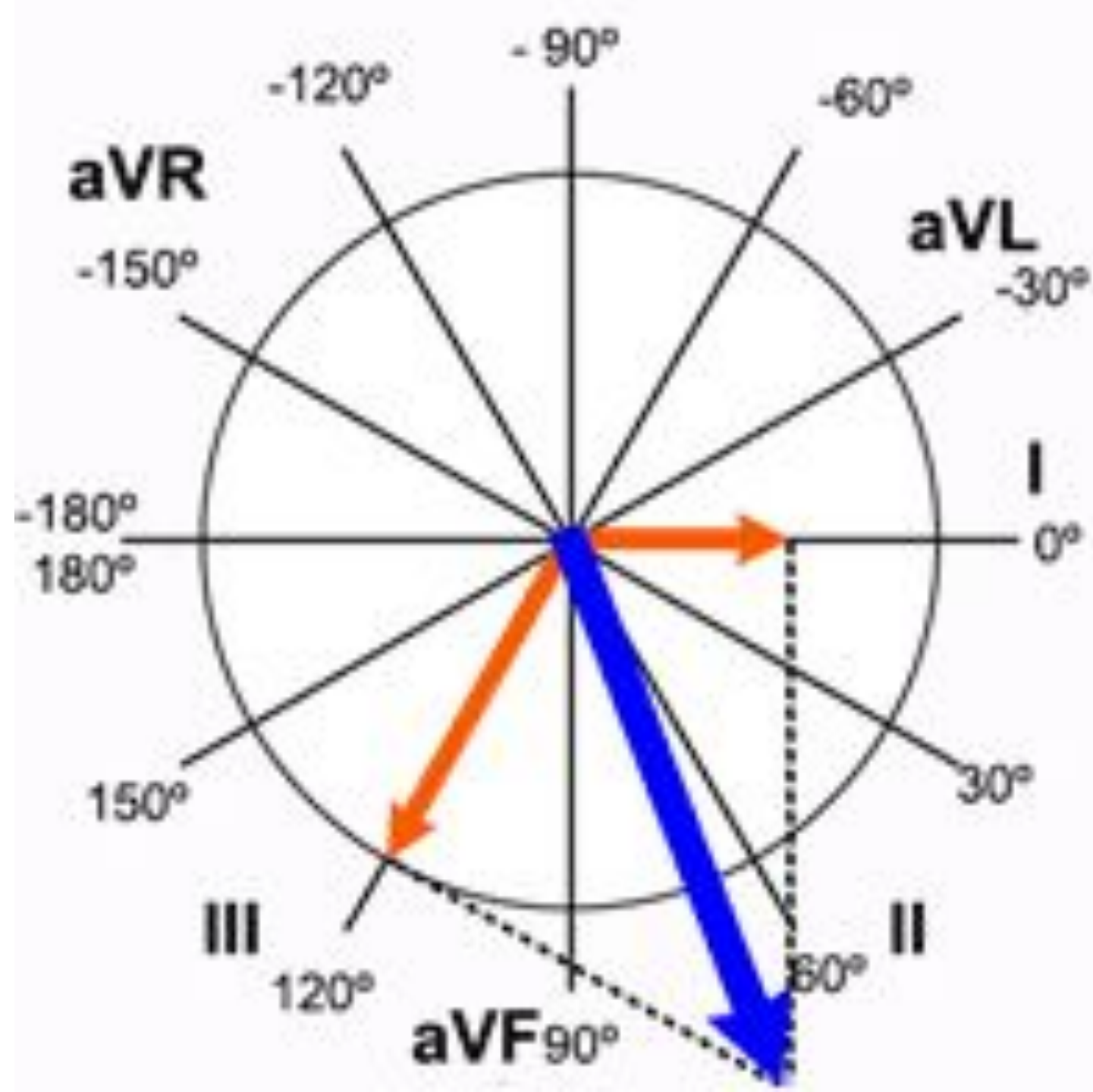
A

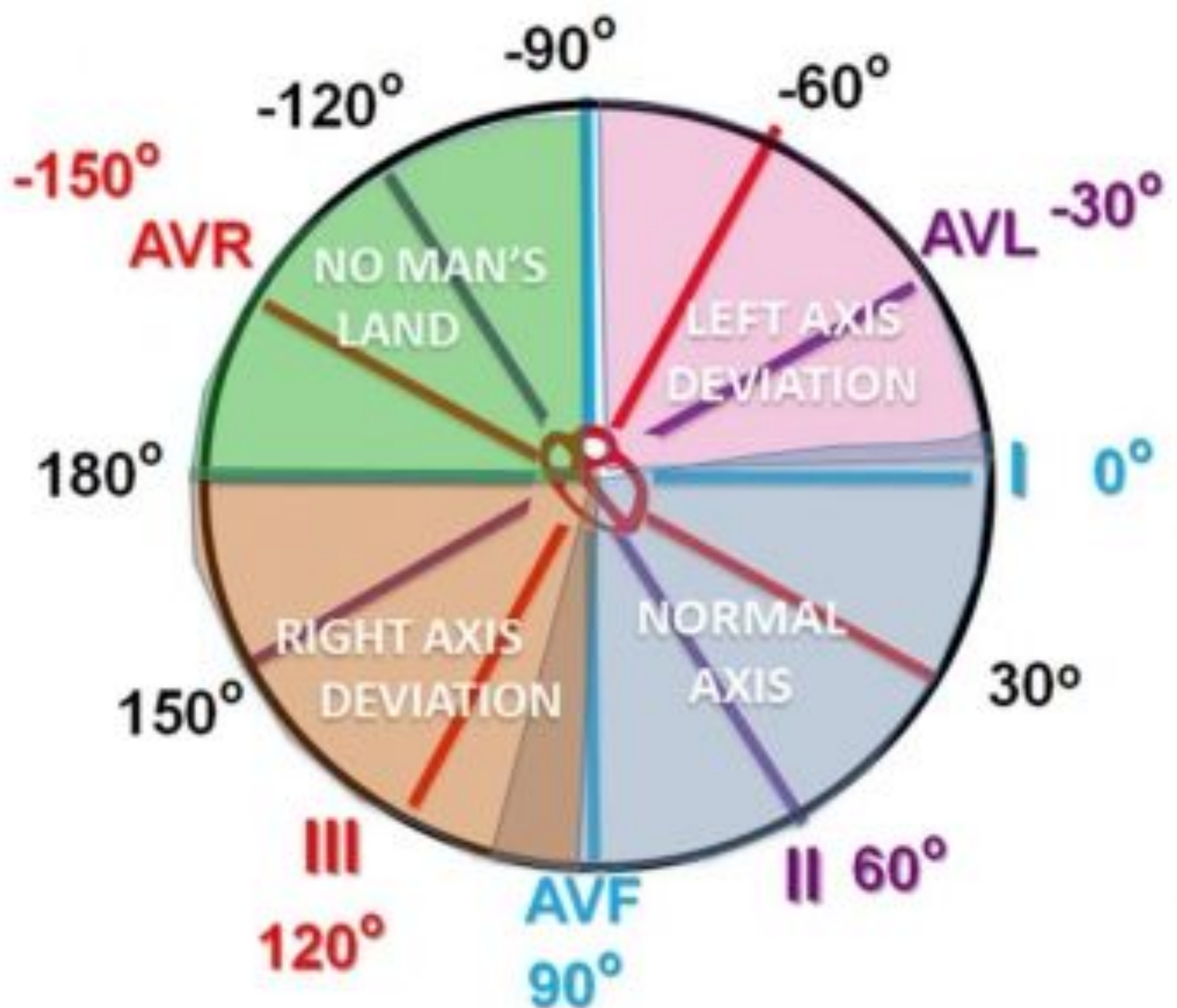
Right axis shift
 $\theta = 120$ degrees



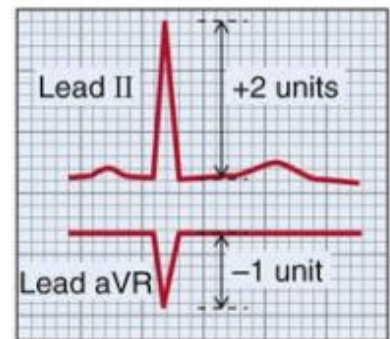
Left axis shift
 $\theta = 0$ degrees



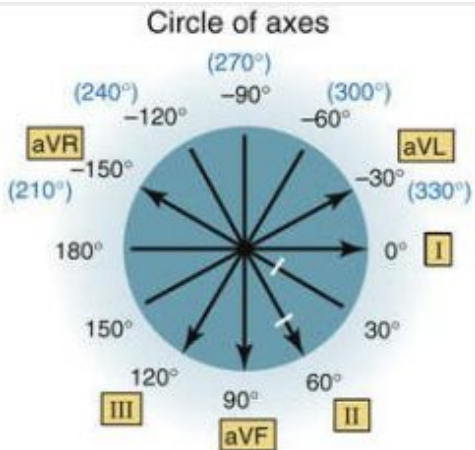




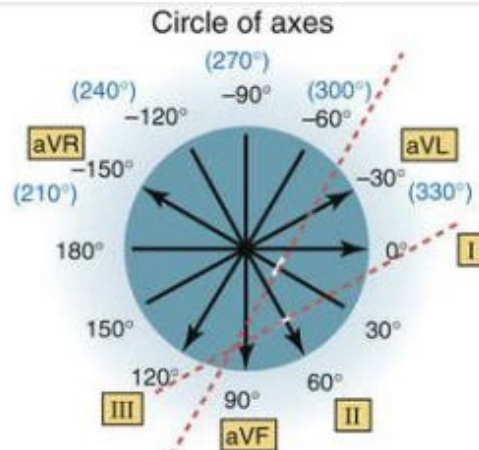
A GEOMETRIC METHOD



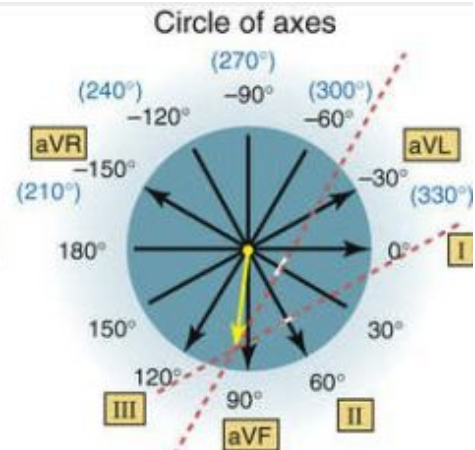
1
Measure magnitude of QRS.



2
Mark on circle of axes, +2 units at 60° (lead II) and 1 unit at 30° (negative direction on aVR).



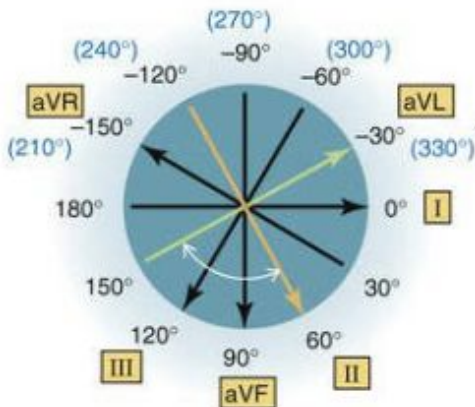
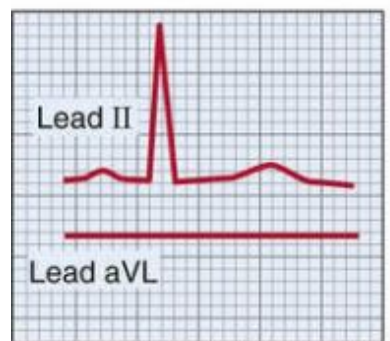
3
Draw two perpendiculars.



4
Connect center of circle with intersection of two perpendiculars.

5
Estimate axis of yellow arrow (about 95°).

B INSPECTION METHOD



1
Identify lead where QRS is isoelectric, in this example, aVL.

2
Identify axis perpendicular to isoelectric lead. In this example, lead II (+60° or -120°) is perpendicular to aVL. If QRS on lead II is positive, axis is +60°. If negative, axis is -120°. Because lead II shows a positive deflection, +60° must be correct.

Зубцы и интервалы	Возраст			
	Новорожденный	До 2 лет	Дошкольный	Школьный
Зубец Р	1/3 зубца R	1/6 зубца R	1/10—1/8 зубца R	1/10—1/8 зубца R
Интервал PQ,с	0,09—0,12	0,11—0,15	0,11—0,16	0,12—0,17
Зубец Q	1/3—1/2 зубца R	1/3—1/2 зубца R	Непостоянный	Не больше 1/4 зубца R
Комплекс QRS,с	0,04—0,05	0,04—0,05	0,05—0,06	0,06—0,08
Зубец Т	Менее 1/4 зубца R	Менее 1/4 зубца R	1/4 зубца R	1/4—1/3 зубца R